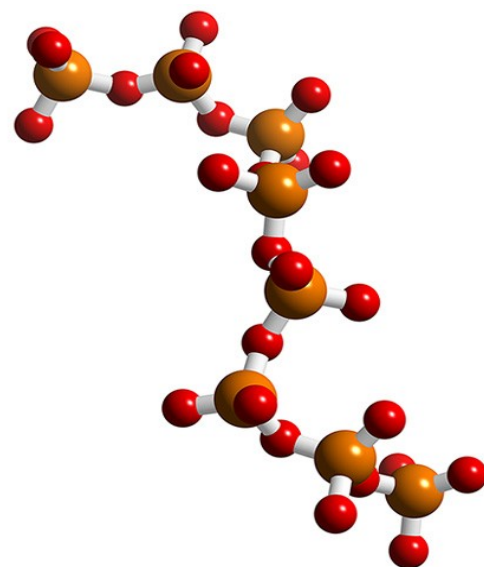
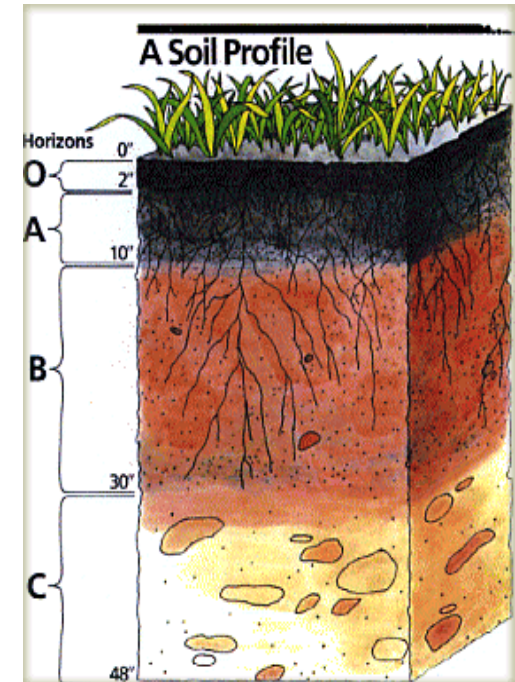
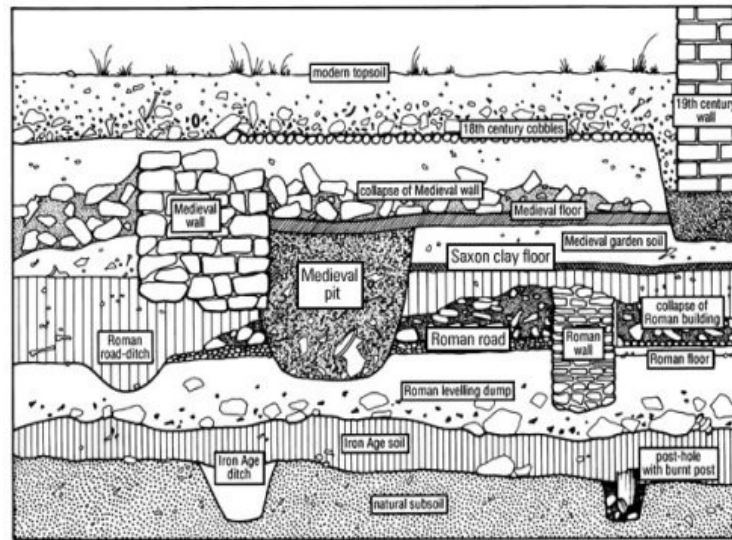


Chemie a archeologie II



Půda a její vlastnosti

- zrnitost
- pH
- redoxní potenciál
- hustota
- zbarvení
- obsah humusu



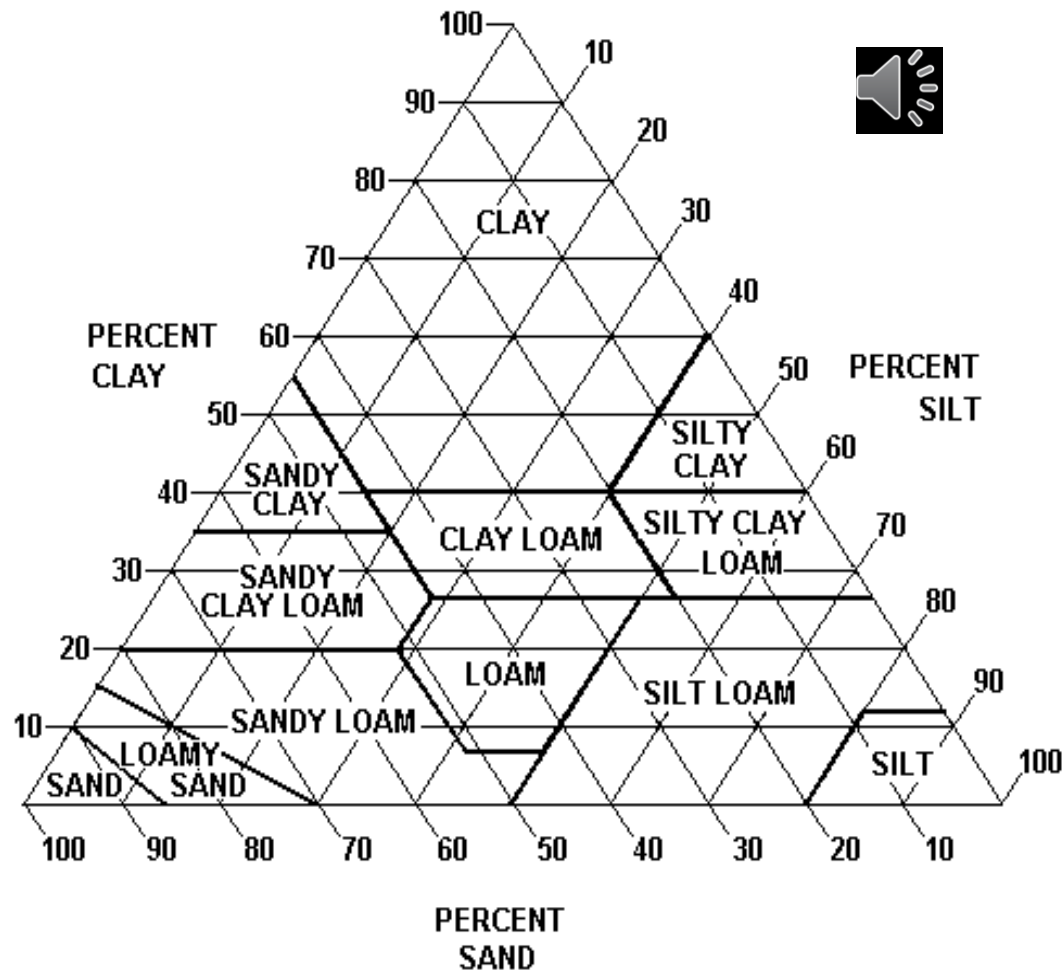
Zbarvení půdy

Munsellova škála



Textura půdy (analýza zrnitosti)

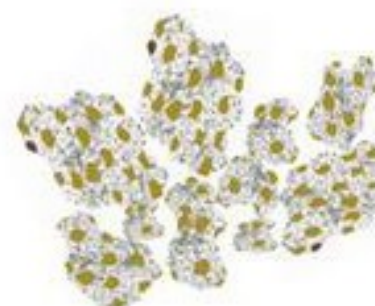
Síta o různé velikosti ok



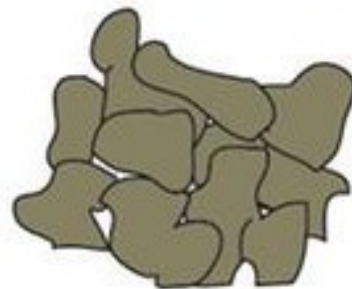
Struktura půdy



Granular (high permeability)



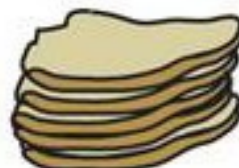
Aggregated (high permeability)



Blocky (moderate permeability)



Columnar/prismatic (moderate permeability)

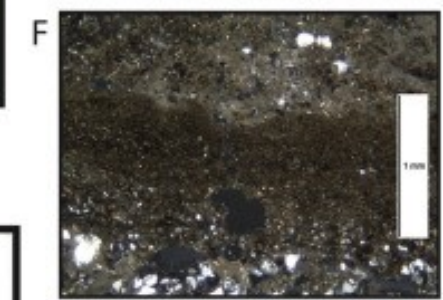
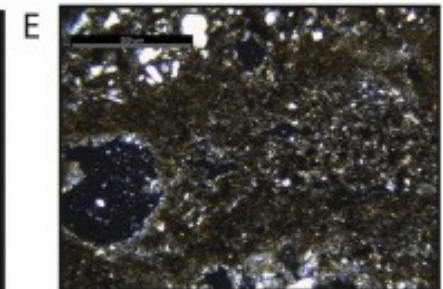
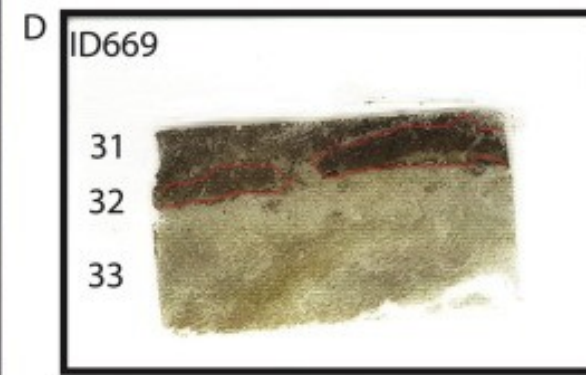
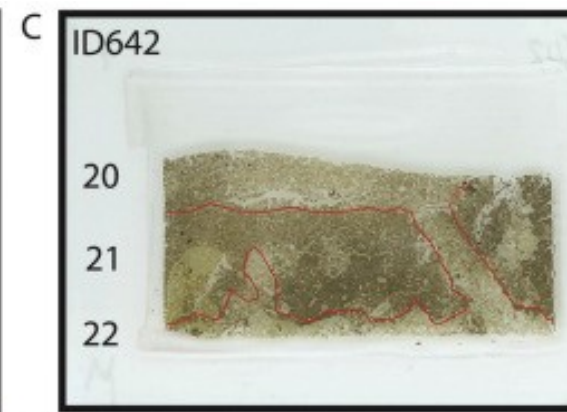
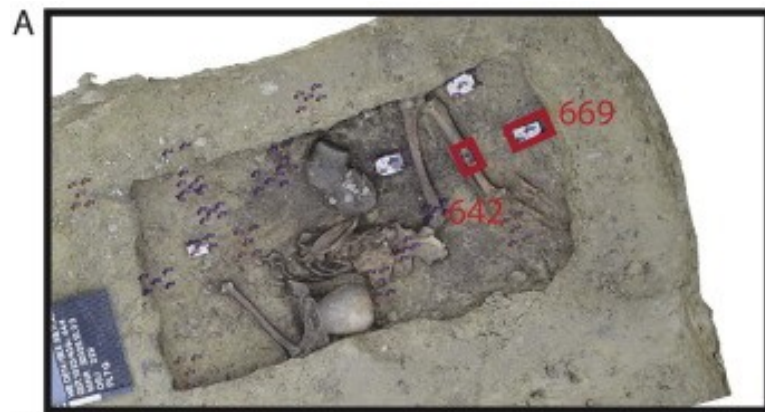
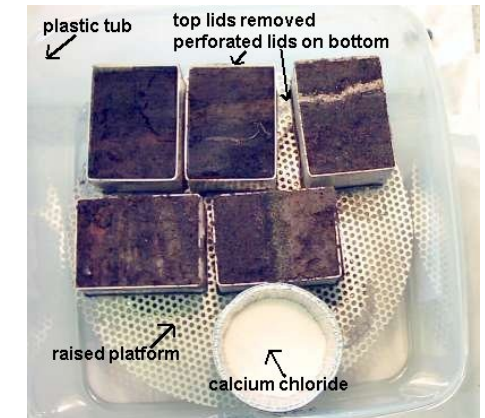


Platey (low permeability)



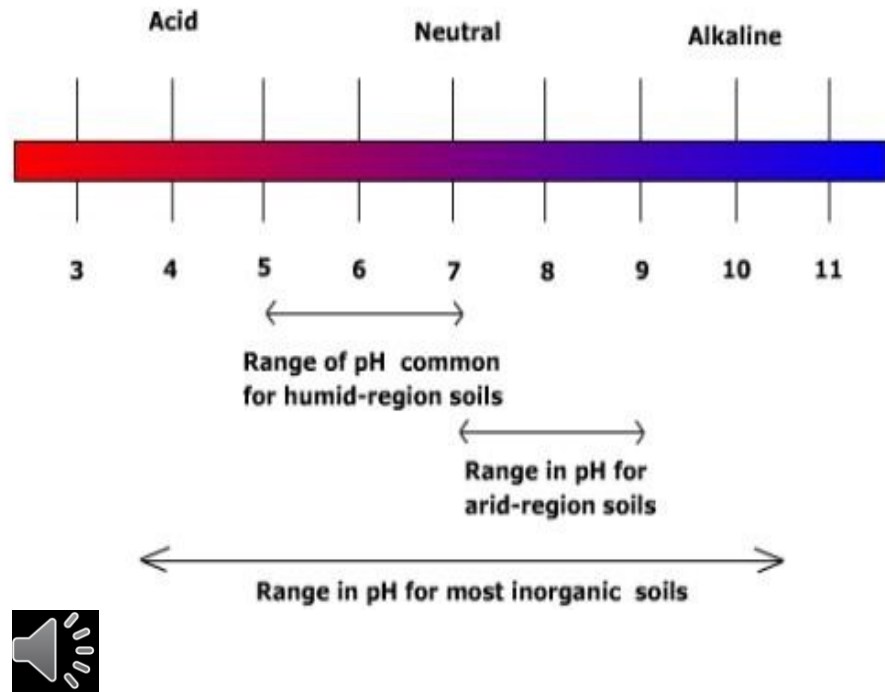
Massive (low permeability)

Mikromorfologie půdy



Kyselost (pH)

pH: záporný logaritmus koncentrace iontů H⁺



Aktivní půdní reakce
(destilovaná voda)

Výměnná půdní reakce
(1 M roztok KCl)

půda	pH
silně kyselá	do 4,5
kyselé	4,6 – 5,5
slabě kyselé	5,6 – 6,5
neutrální	6,6 – 7,2
slabě alkalické	7,2 – 8,5
alkalické	8,6 – 9,5
silně alkalické	nad 9,6

Kyselost (pH)

Nízké pH půdy (podzoly):

významný rozklad kosti

Vysoké pH půdy (spraše,
půdy na vápencích):

srážení vápence vně i uvnitř kosti



pH půdy je také ovlivněno přítomností humusu (huminové kyseliny a fulvokyseliny)

v hrobové jámě se pH lokálně mění také v závislosti na přítomnosti organických artefaktů

uhličitanы: pouze v alkalických půdách

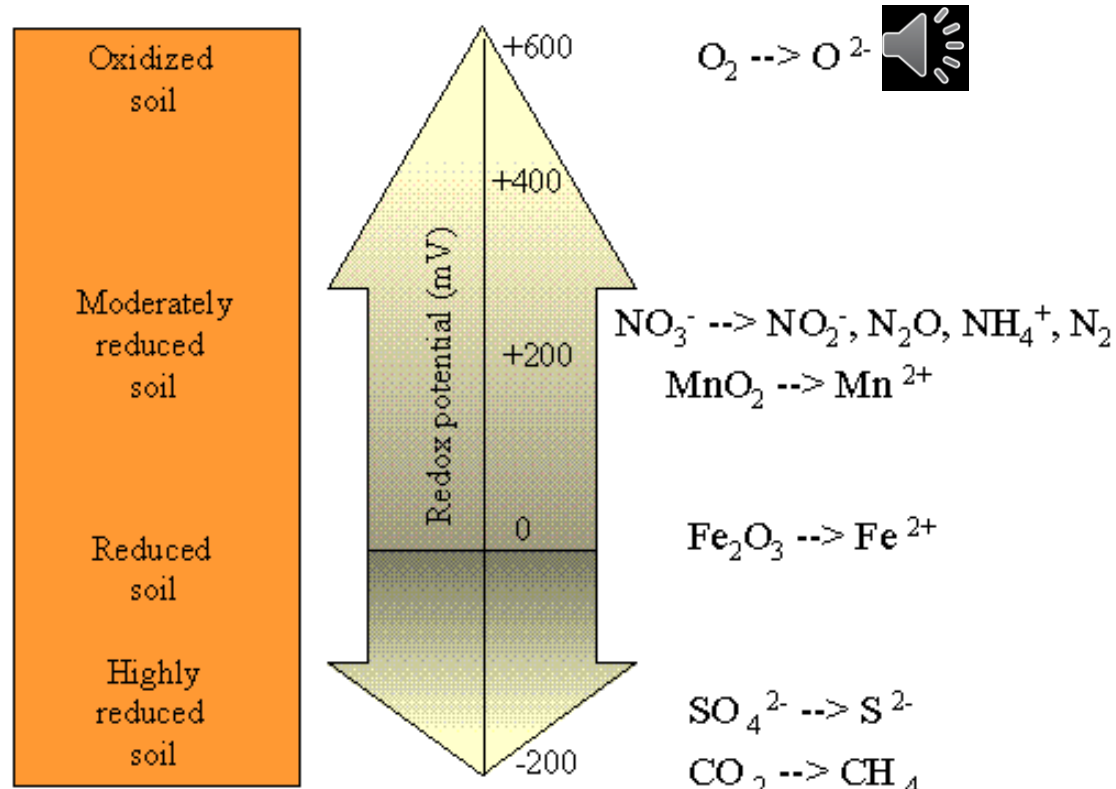
Oxidačně-redukční potenciál

$$\text{Red} = \text{Ox} + n e^-$$

Nernstova rovnice

$$E = E^0 + \frac{RT}{nF} * \ln \left(\frac{a_{\text{ox}}}{a_{\text{red}}} \right)$$

Example Of The Range In Redox Potentials In Waterlogged Soils And The Location In The Redox Range Where The Various Electron Acceptors Are Active



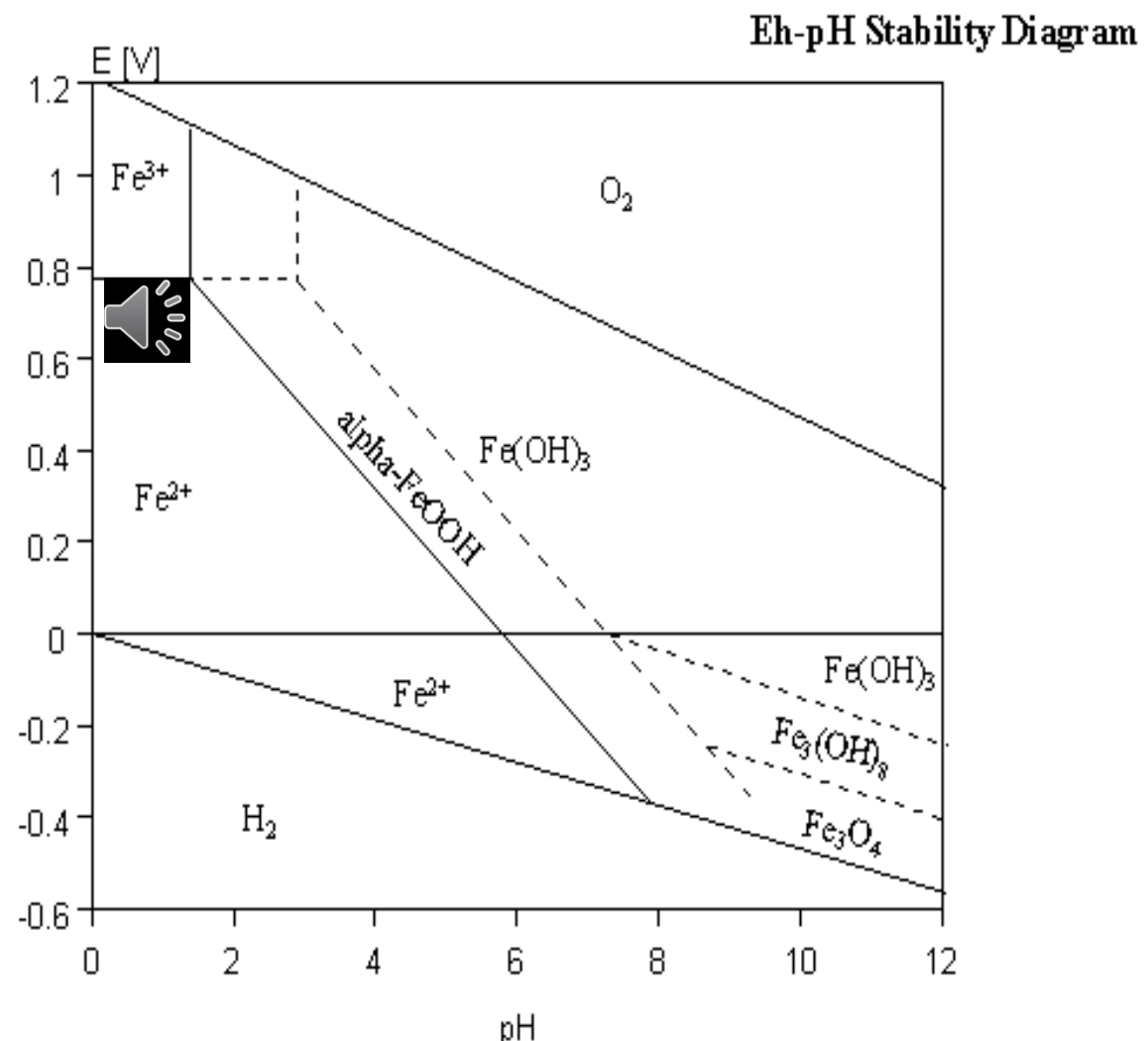
Odhad redoxních podmínek

Přímé měření

Poměr krystalických a amorfních oxidů železa

Přítomnost Fe^{2+} a/nebo S^{2-}

Charakter koroze kovových artefaktů



Stanovení fosforu

CELKOVÝ FOSFOR

Anorganický

Labilní (dostupný)

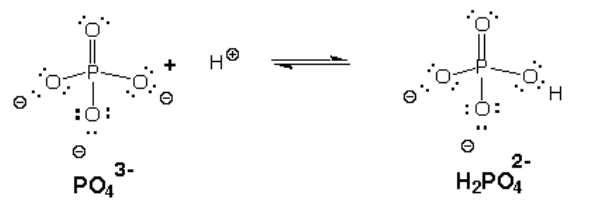
Vázaný na Al, Fe a Mn

Vázaný na Ca

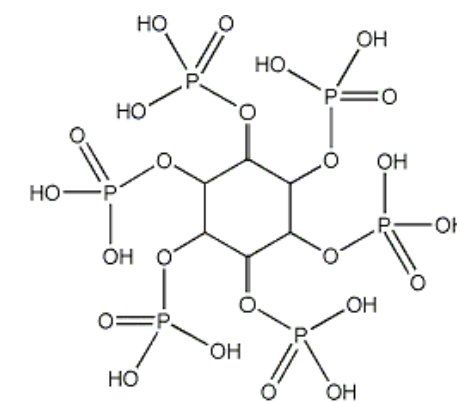
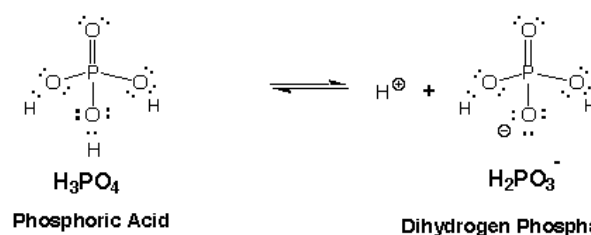
Organický

Fytáty

Ostatní sloučeniny (ATP,
DNA, fosfolipidy, aj.)



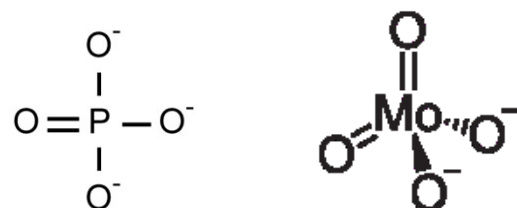
Phosphate Ion



Na

Molybdenová reakce

Fosfát + molybdenan → fosfomolybdenová žlut'



Vzorek

+

HCl

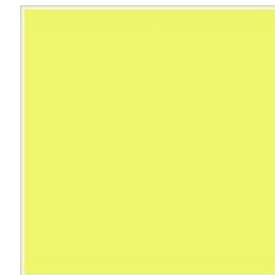
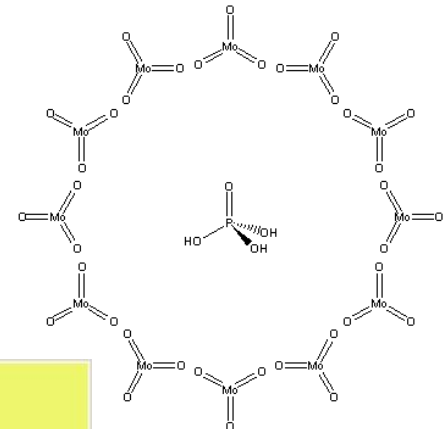


+

kys. askorbová



fosfomolybdenová modř

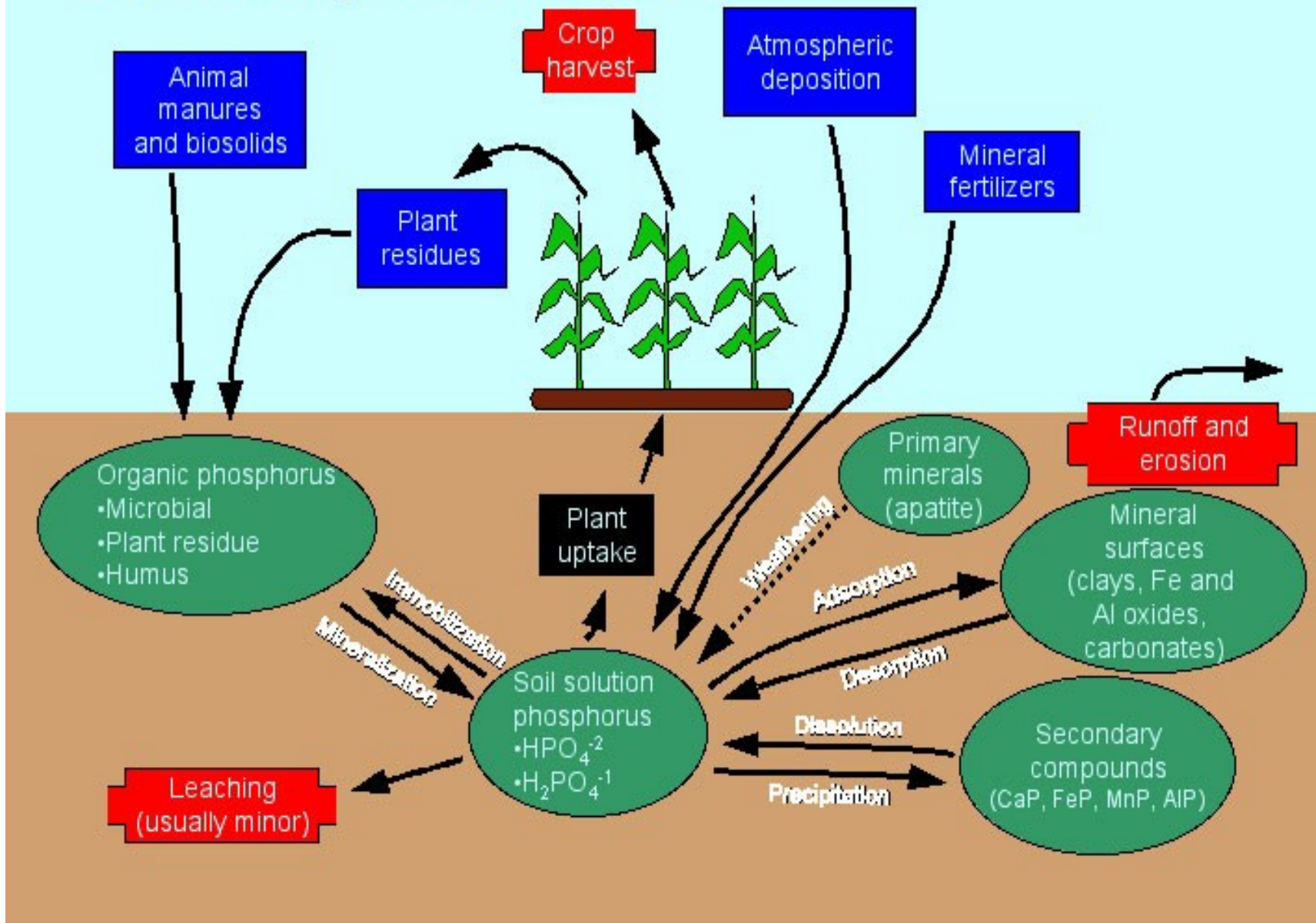


Component

Input to soil

Loss from soil

The Phosphorus Cycle

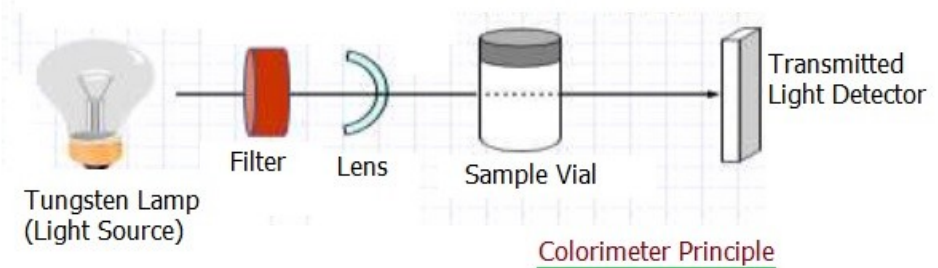


Doklad přítomnosti dřevěné konstrukce (zbarvení půdy)



Extrakce a stanovení fosfátů

- 1) Extrakce
- 2) Přidání reagentu
- 3) Stanovení fosfátů



Kolorimetrie

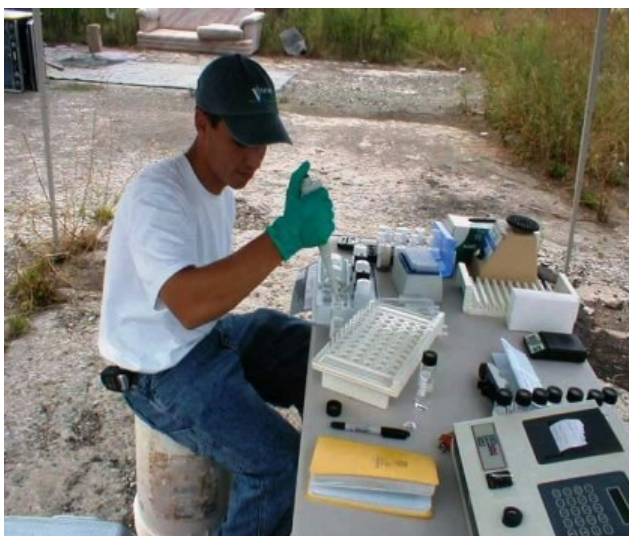
Fosfor



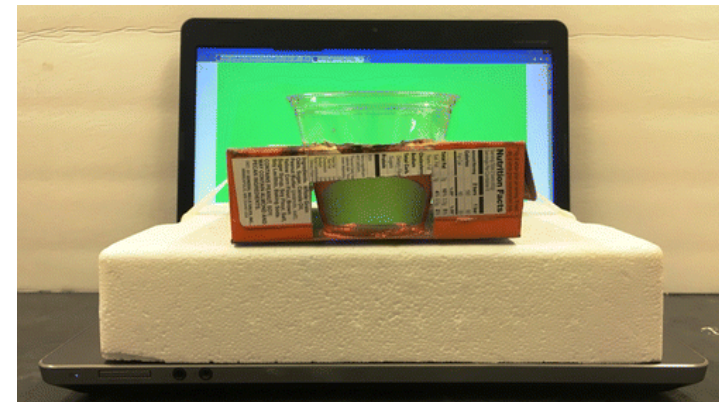
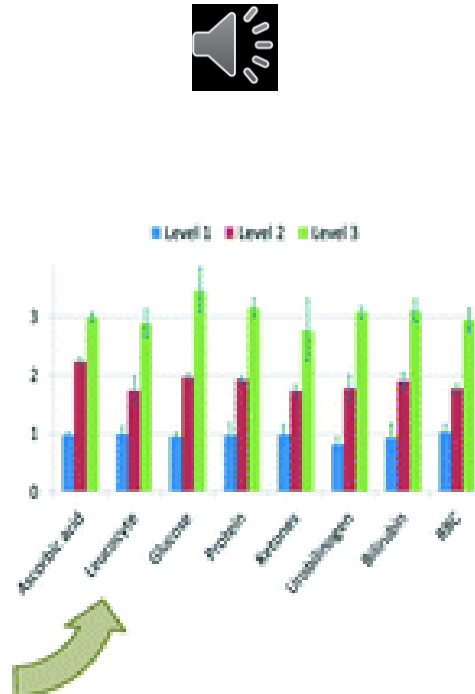
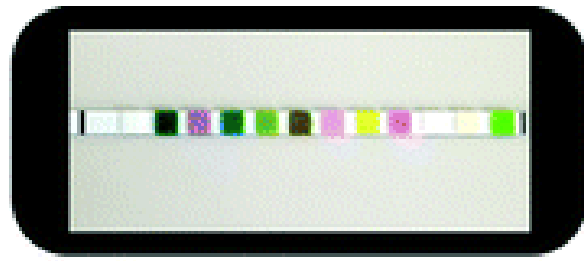
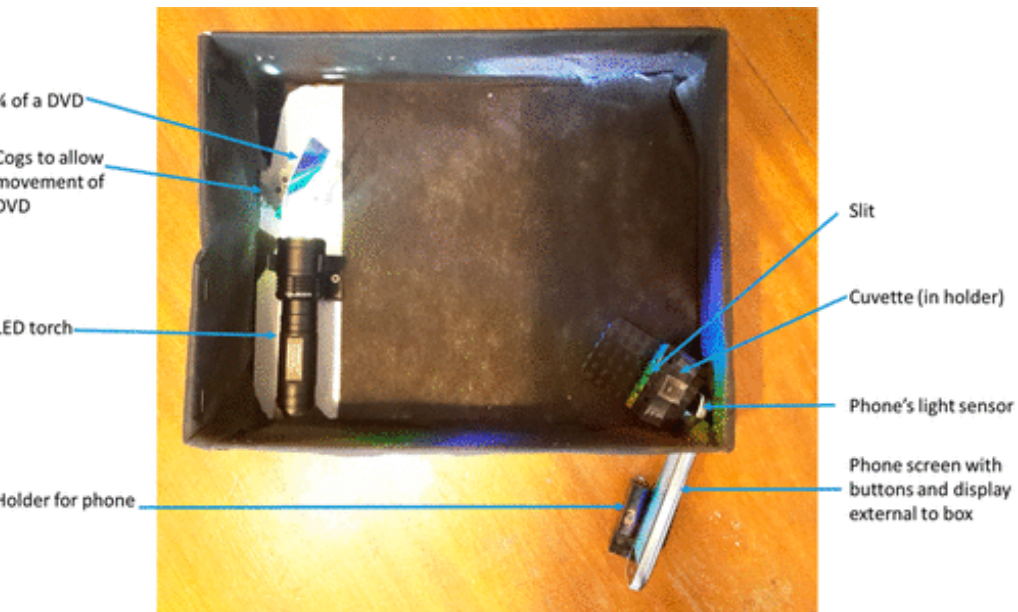
pH

Železo

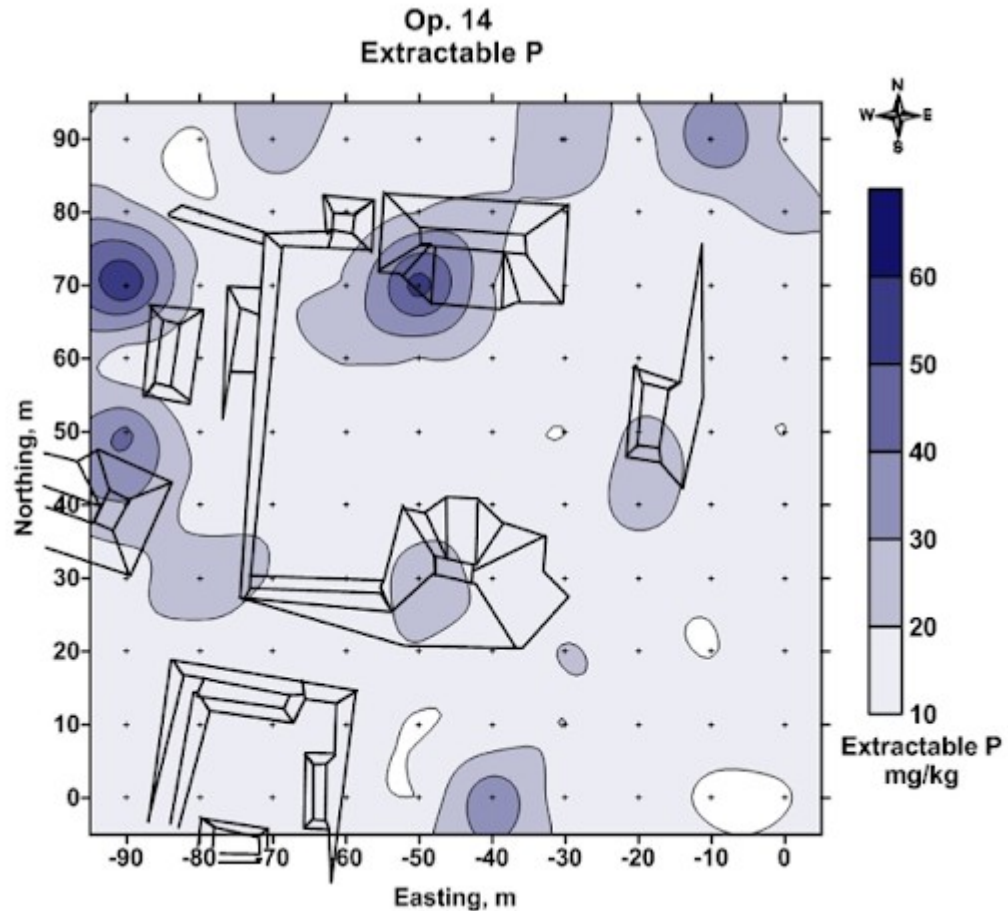
Dusík (amoniakální, nitrátový)



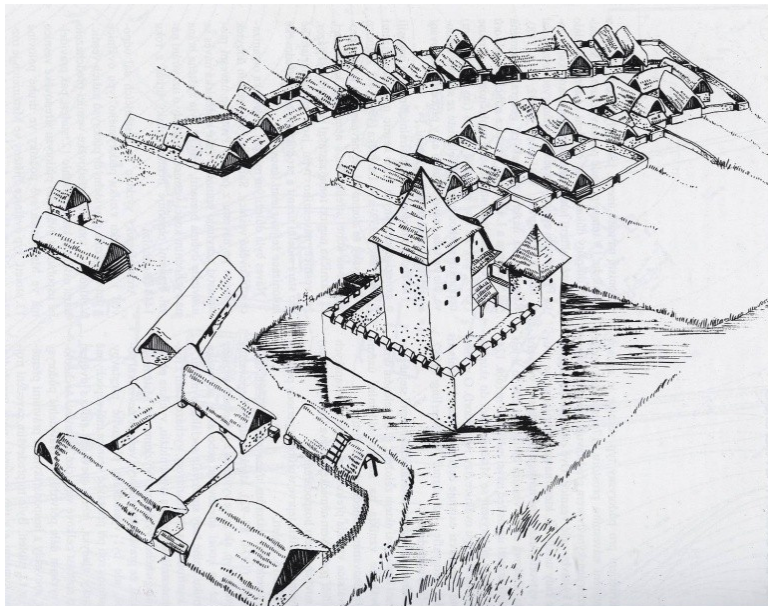
Kolorimetrie - aplikace mobilního telefonu



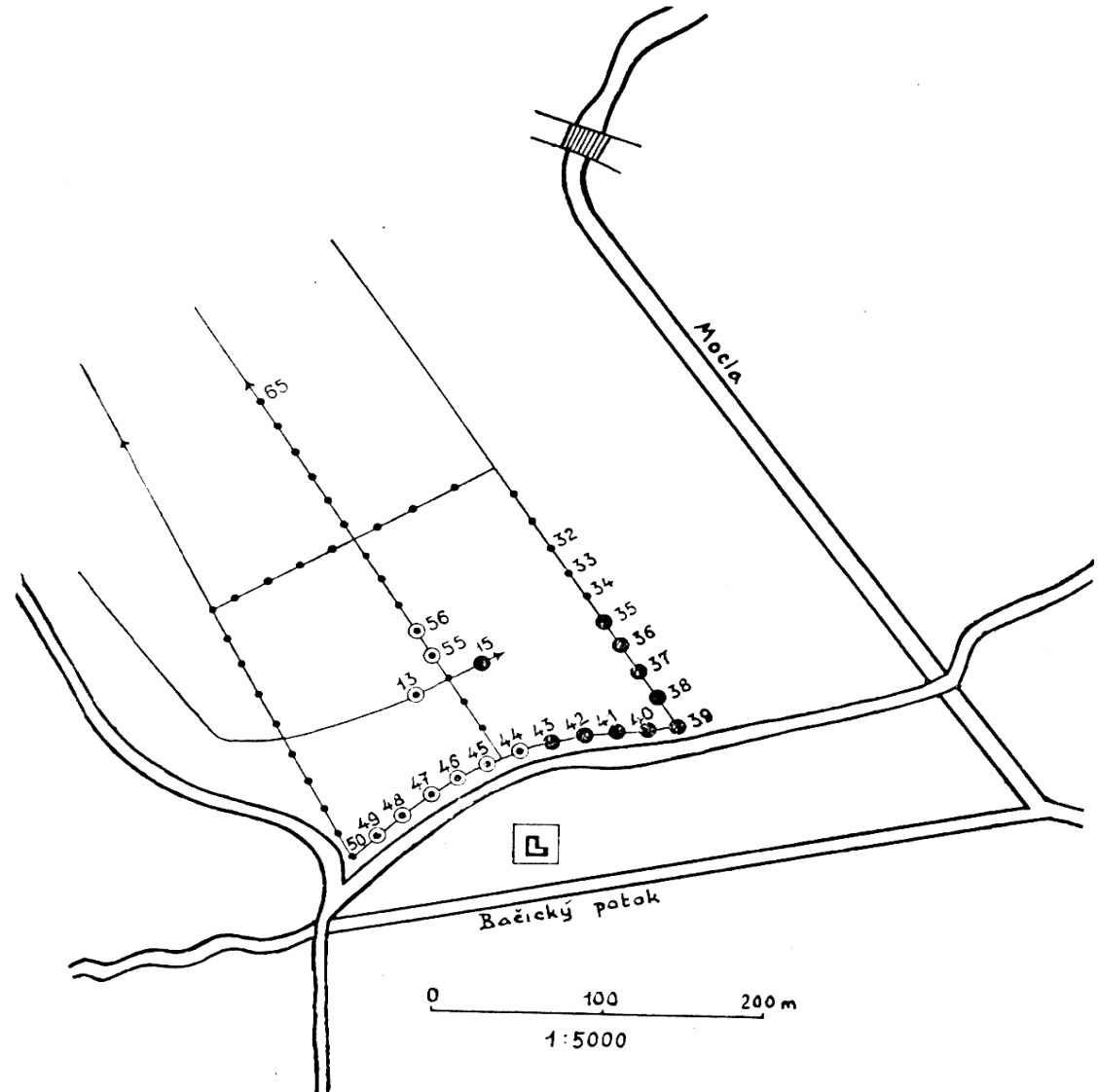
Prospekce sídelních areálů



Mstěnice

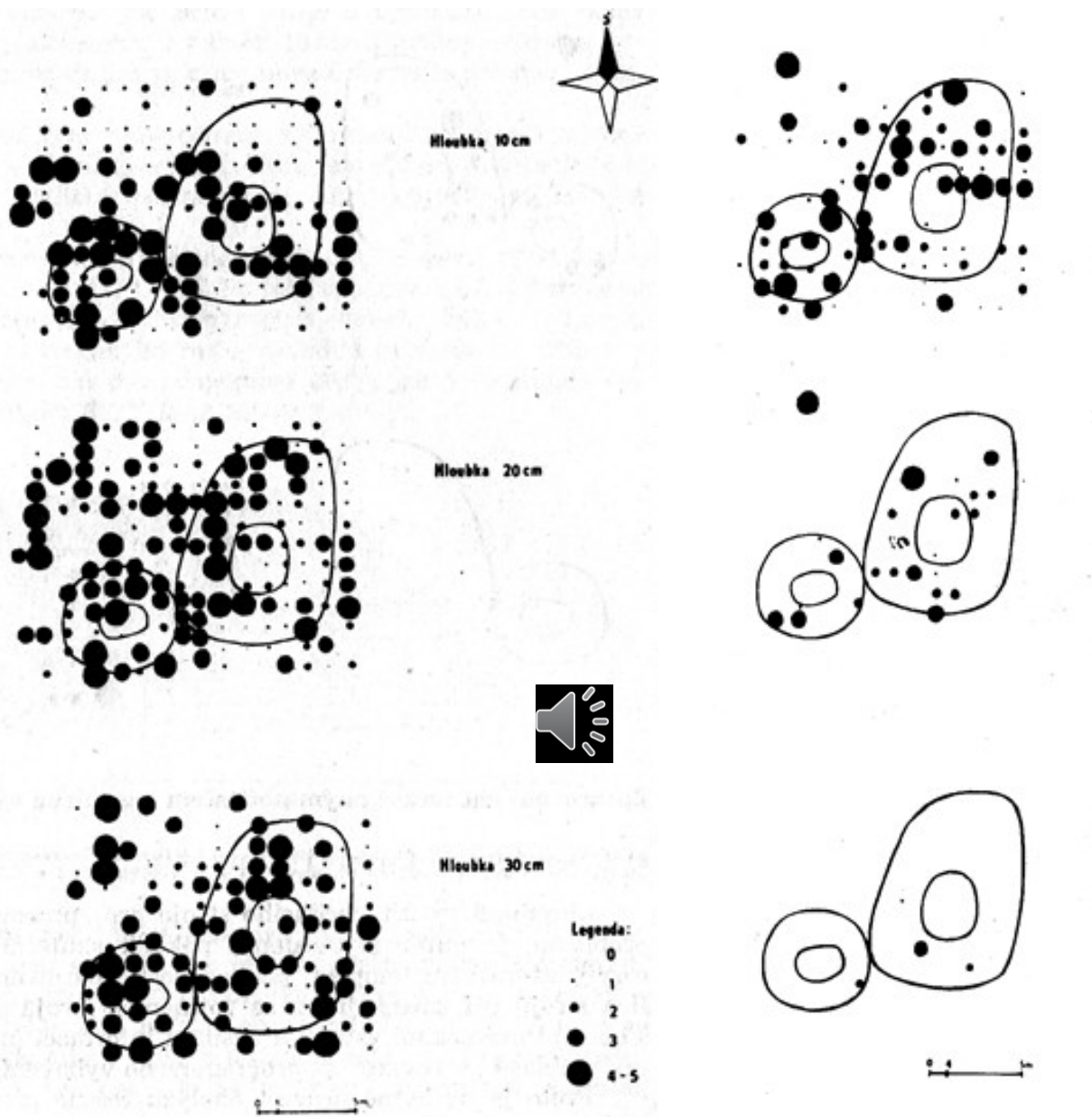


ZSV Mstěnice
(JZ Morava)



Plán sond k fosfátové půdní analýze.
● Vyznačena místa s obsahem fosforu podstatně zvýšeným.

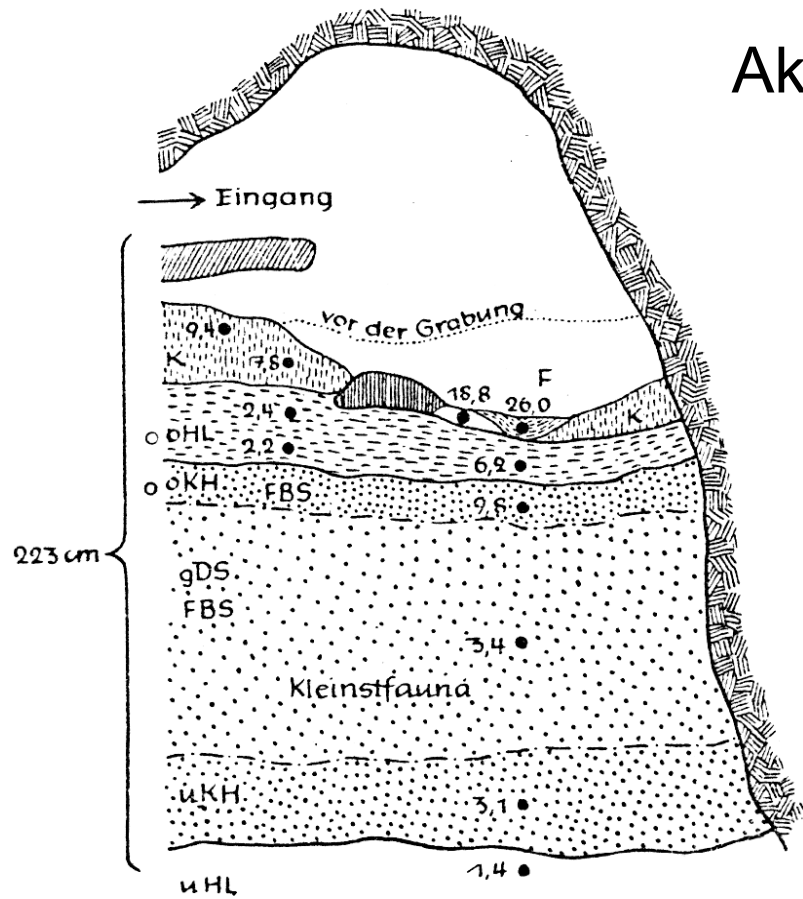
Potálov



ZSV Potálov
(J Čechy)

Obr. 4. ZSO Potálov, okres Tábor. Fosfátová analýza pomocí terenního testu v hloubkách 10–30 cm pod recentním povrchem. 0 – obsah $0,09\%_0$ – $0,15\%_0$ P_2O_5 , 2 – obsah nižší než $0,08\%_0$ P_2O_5 , 3 – obsahy $0,16\%_0$ – $0,4\%_0$ P_2O_5 , 4 – obsahy $0,41\%_0$ – $0,8\%_0$ P_2O_5 , 4–5 – obsahy vyšší než $0,8\%_0$ P_2O_5 .

Fosfor v sídlištních objektech



Akumulace fosforu v důsledku antropogenní činnosti



Abb. 3. Phosphatgehalt in der „Jungfernöhle“ in Oberfranken.

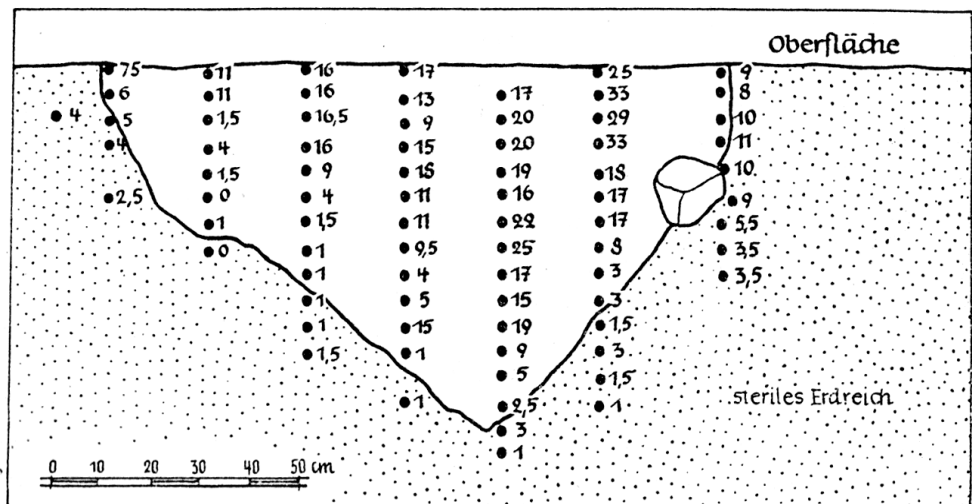
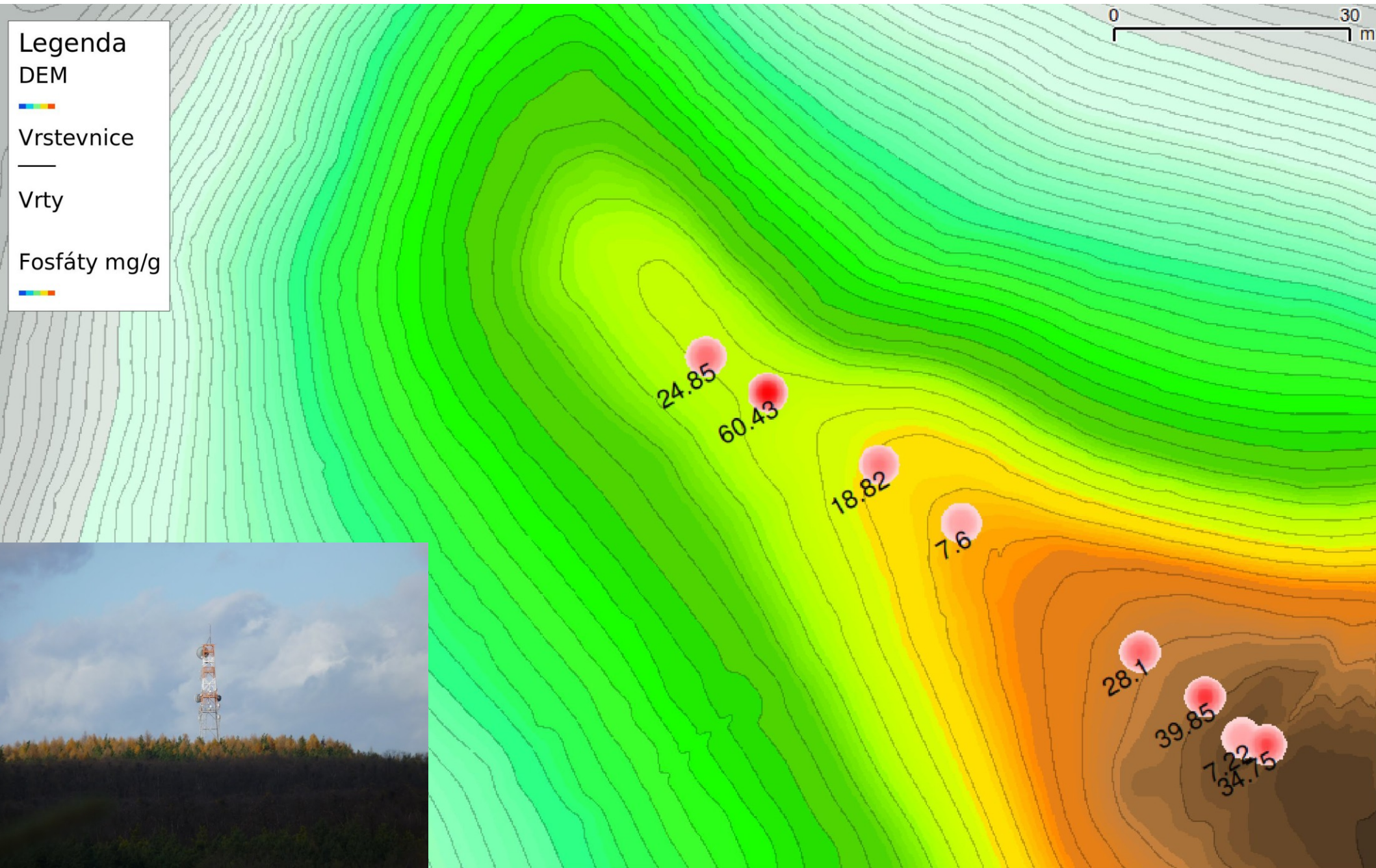
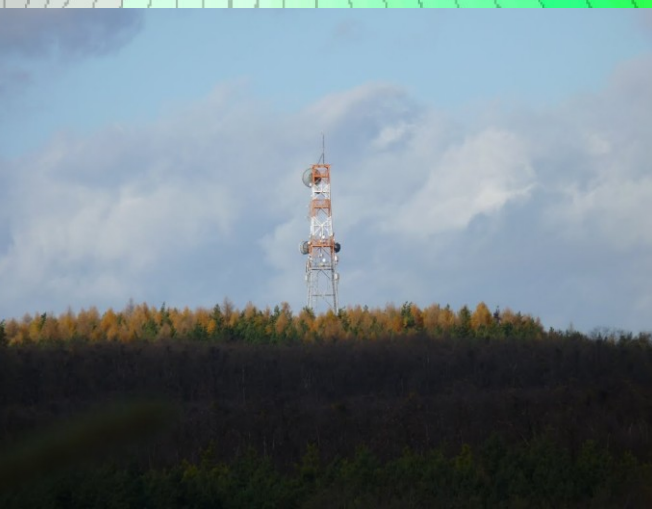
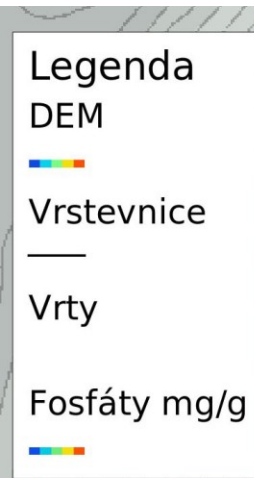


Abb. 2. Phosphatschicht einer Grube von Muldenstein I.



Suchohrdly-Deblínek



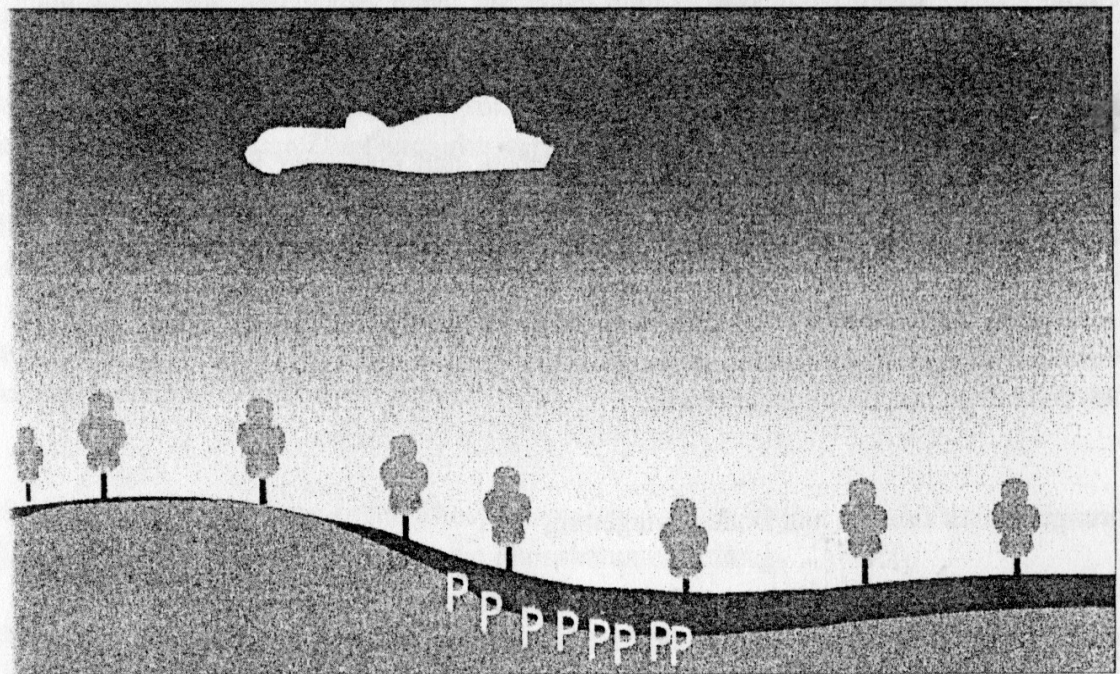
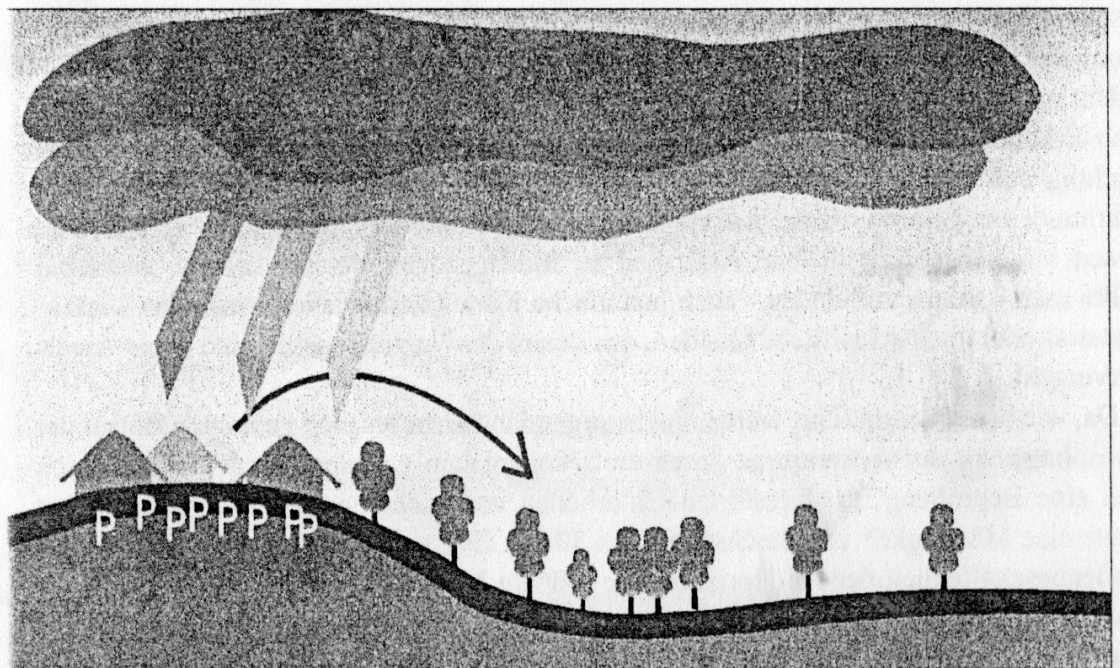
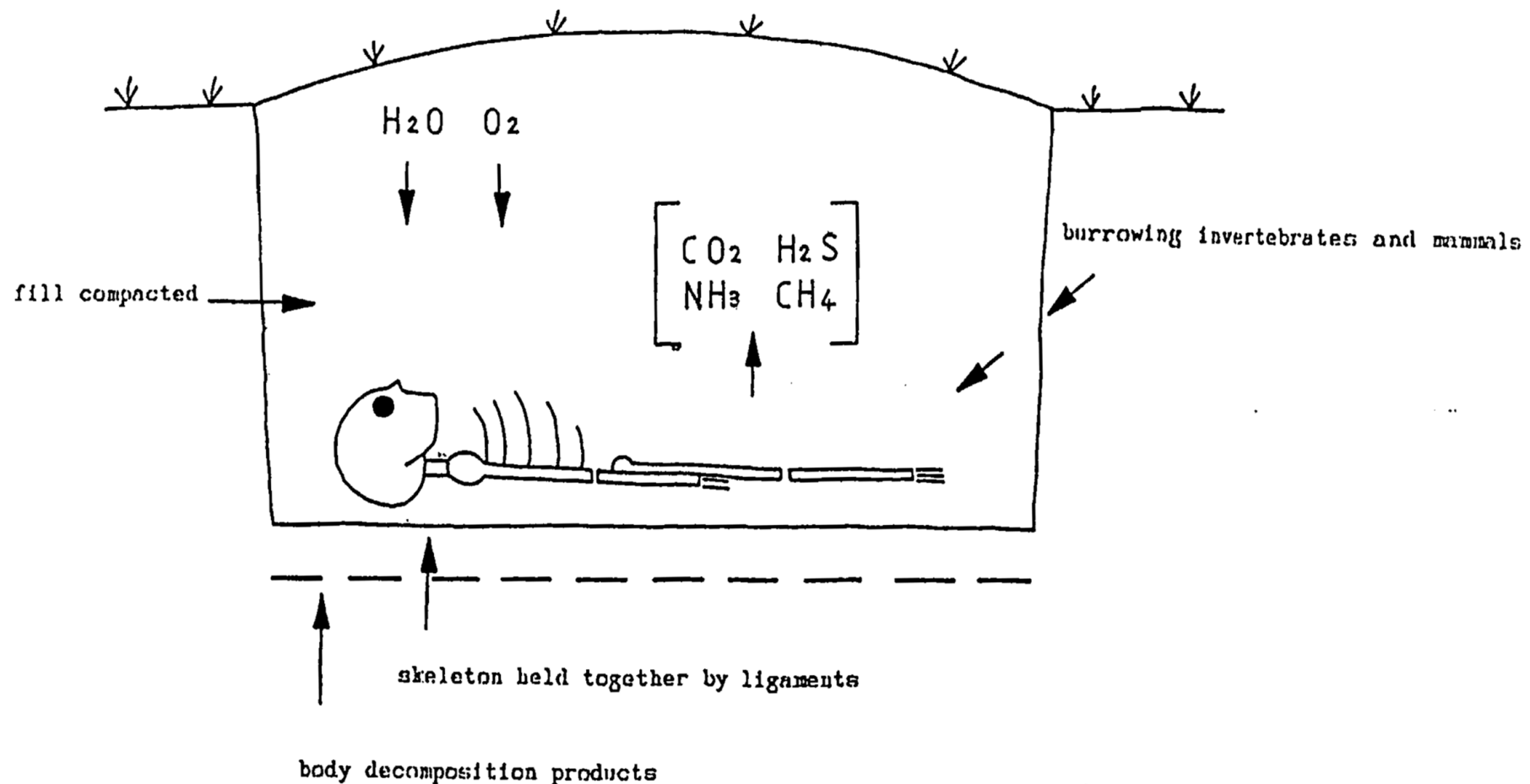
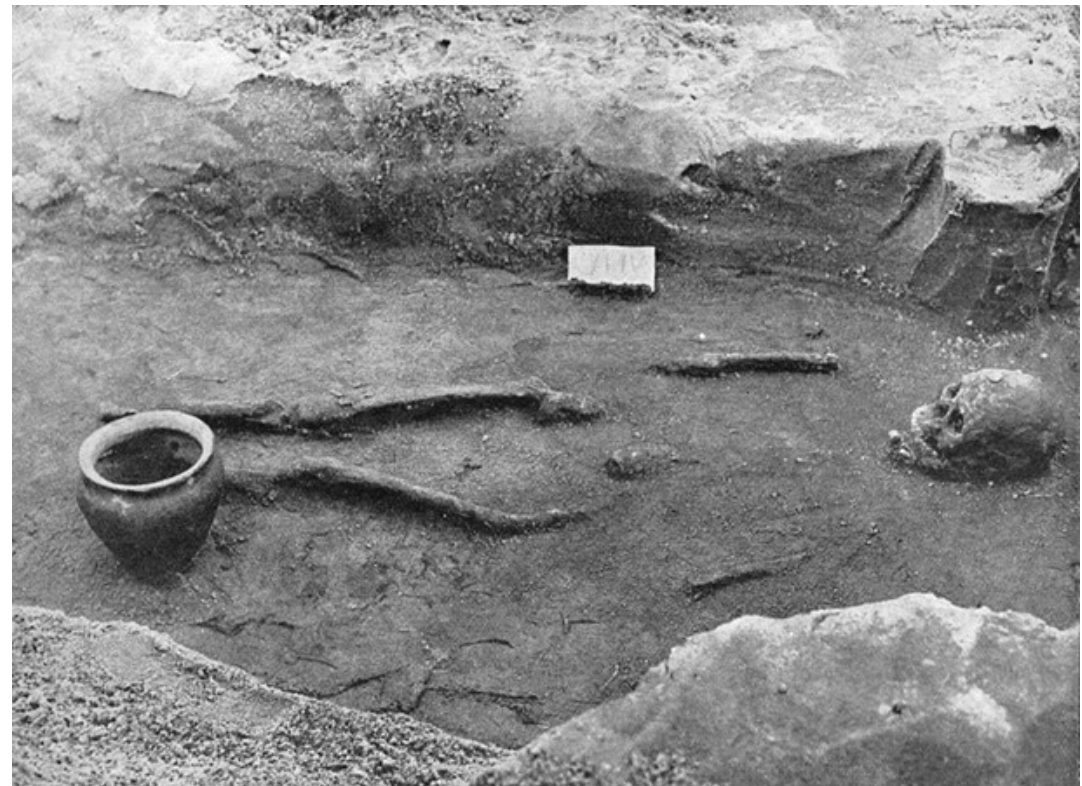
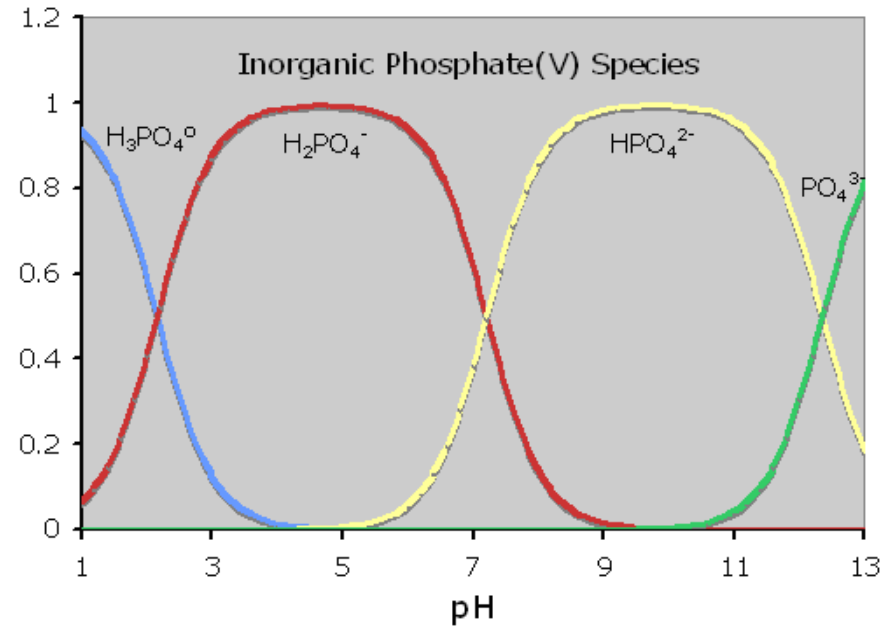


Abb. 4: Störung der Ergebnisse mittels Phosphatmethode durch Erosion: Phosphathaltige Bodenverlagerungen täuschen eine Siedlung vor, die es nie gegeben hat.

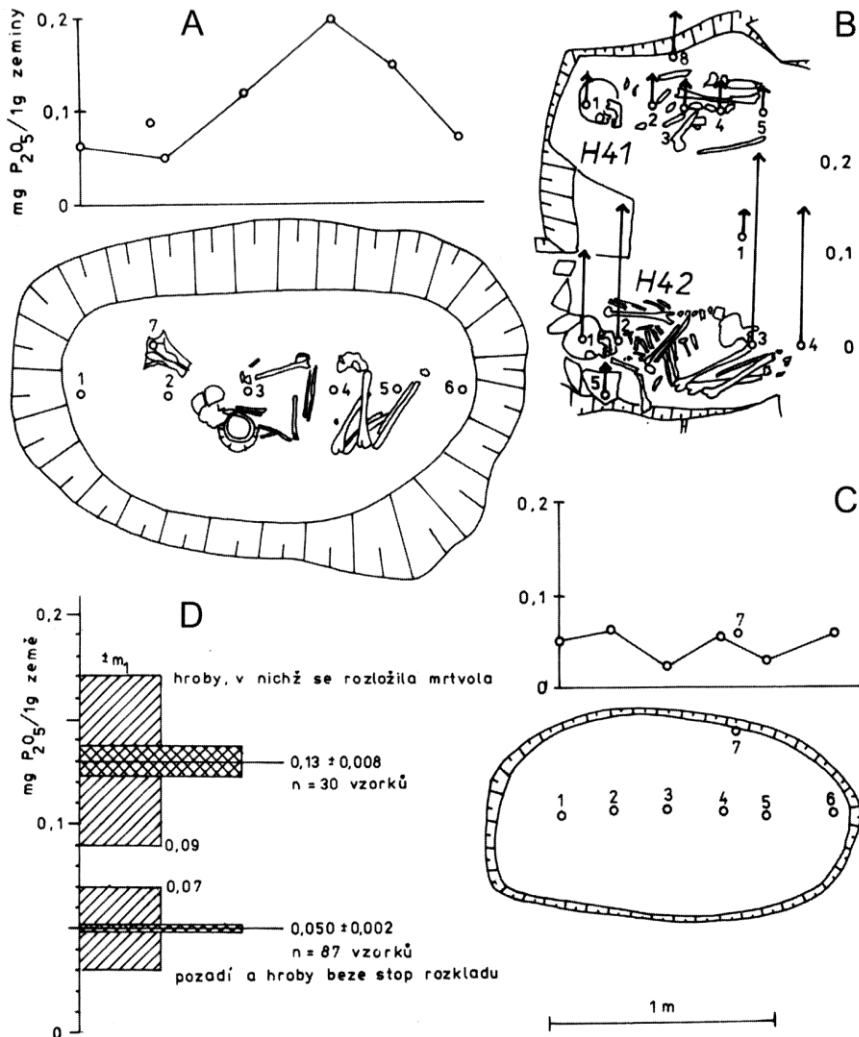
Analýza pohřebišť



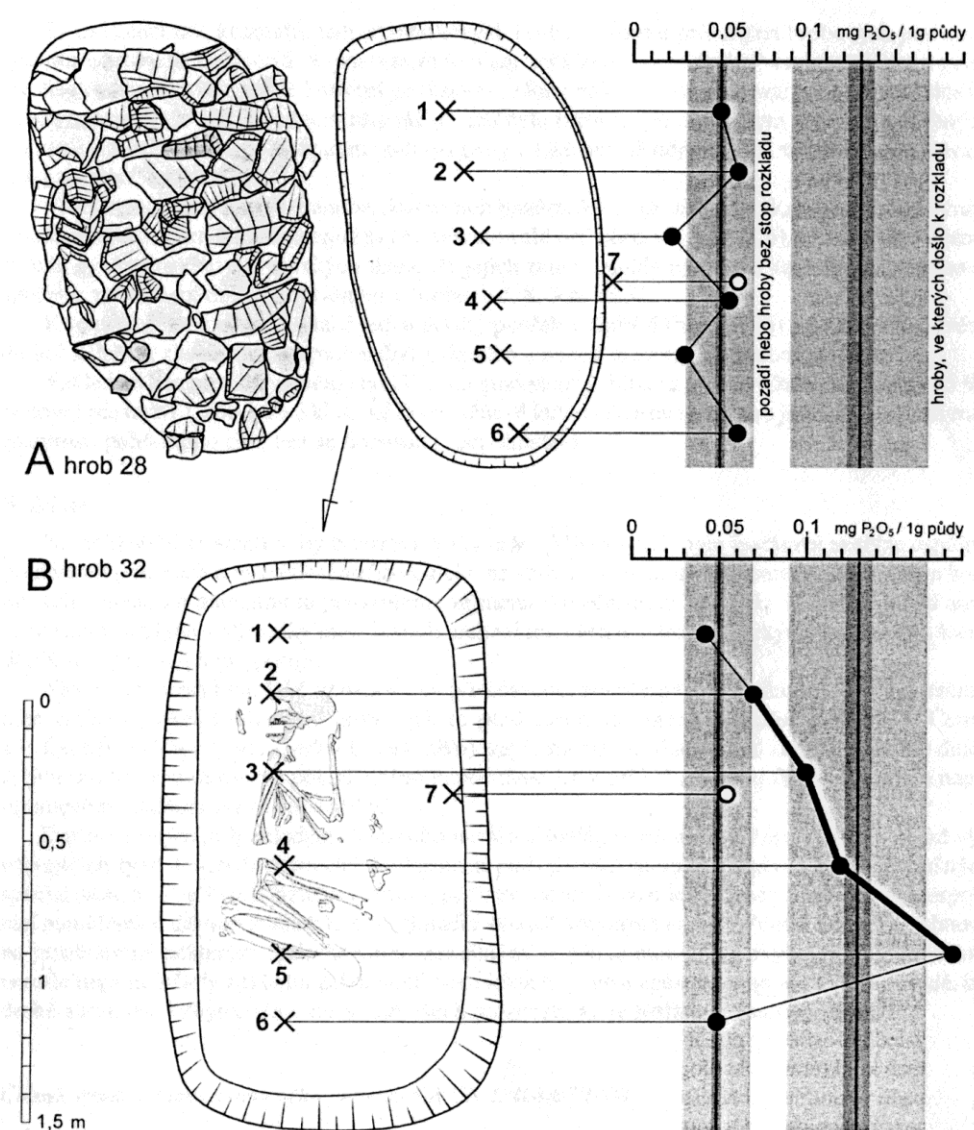
Rozklad kosterních pozůstatků



Praha – Miškovice

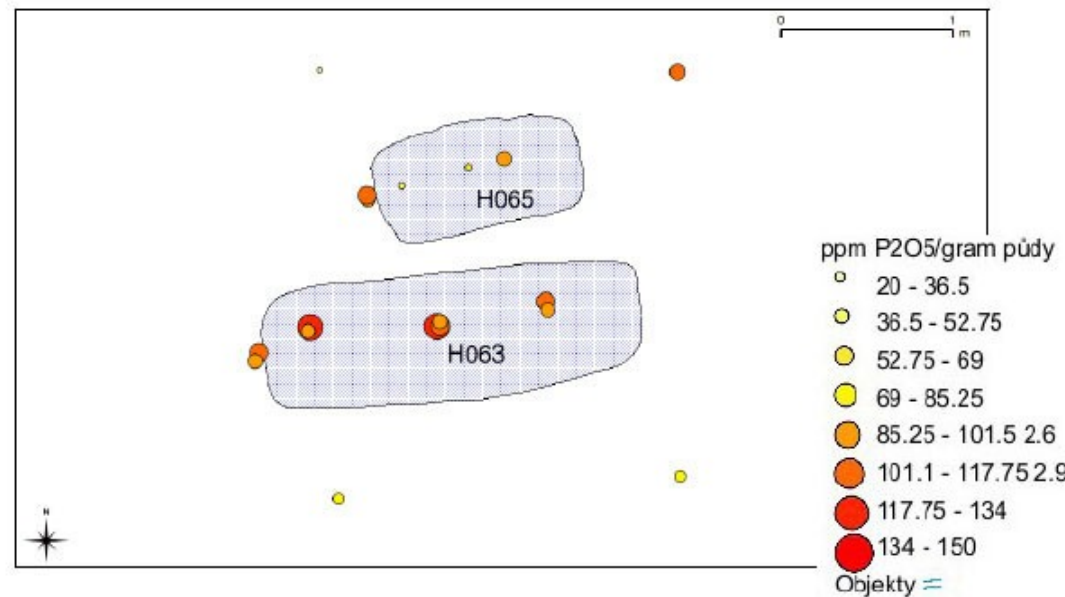
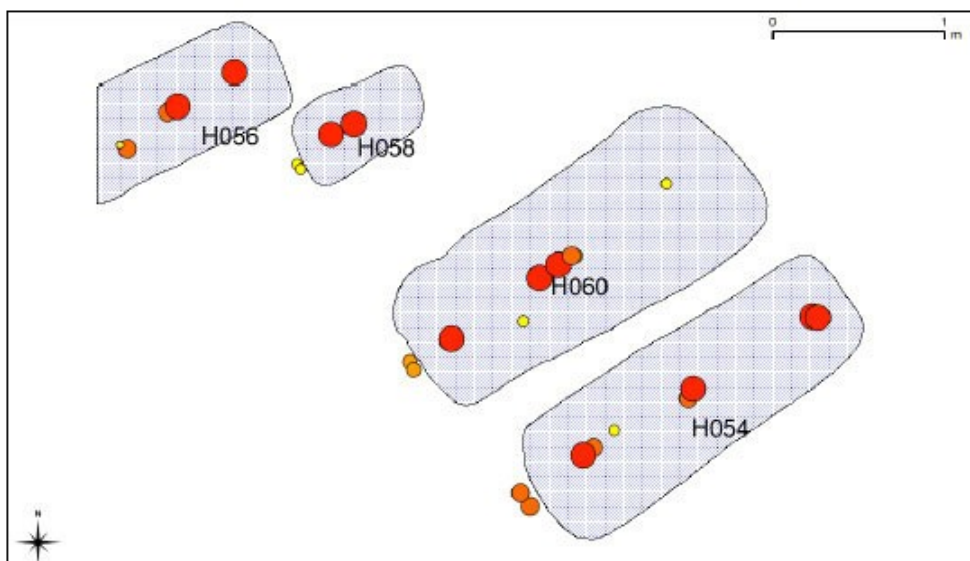
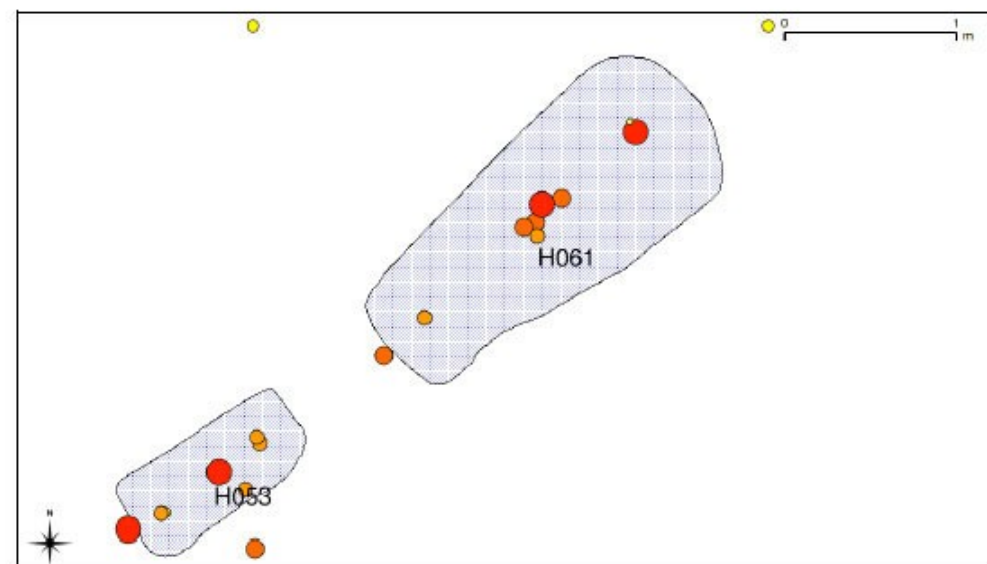
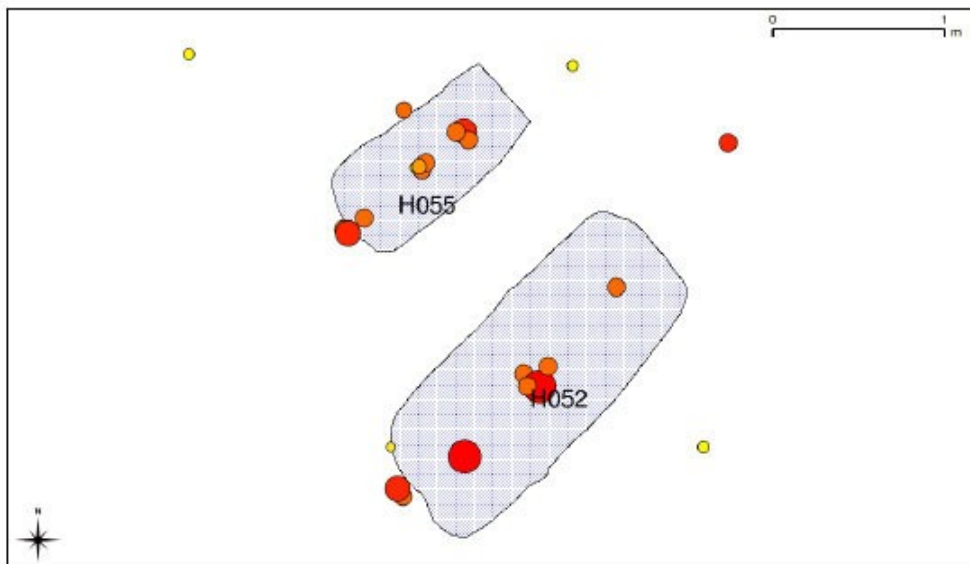


Obr. 6.16. Praha 9-Miškovice, výzkum M. Ernée (Archaia Praha). Hroby únětické kultury. A: Křivka hodnot v hrobě, kde došlo k rozkladu těla. B: Hrob s pohřby H41 (bez fosfátové anomálie) a H42 (s fosfátovou anomálií). C: Hrob bez fosfátové anomálie (k rozkladu těla došlo jinde). D: Vyhodnocení hodnot obsahu fosforu pomocí statistické metody nejmenších čtverců (viz text). Měřil A. Majer.



Obr. 5. Praha 9 – Miškovice. Výsledky fosfátové analýzy v hrobech 28 (A – nahoře) a 32 (B – dole). Křížky jsou označena místa odběru vzorků.

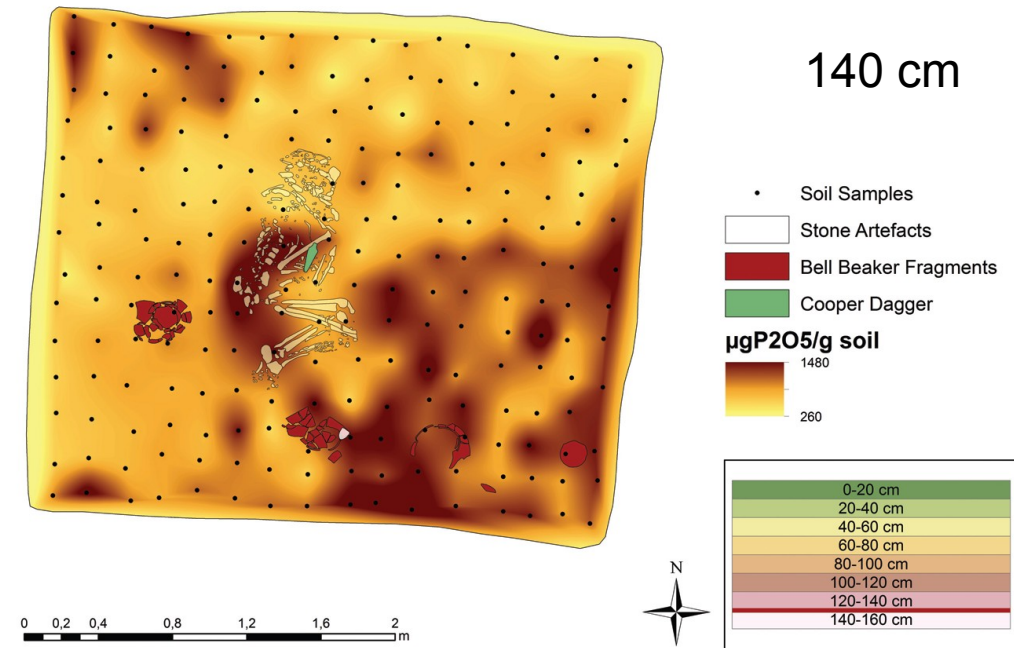
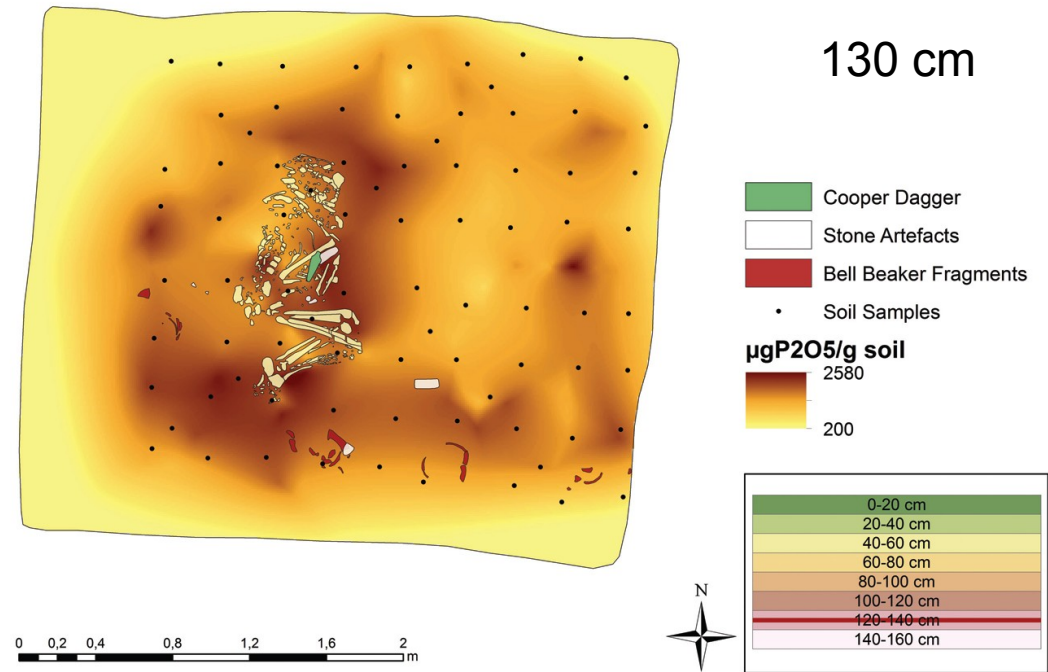
Pohansko u Břeclavi



Těšetice - Kyjovice



H 27, KZP



Kyjov

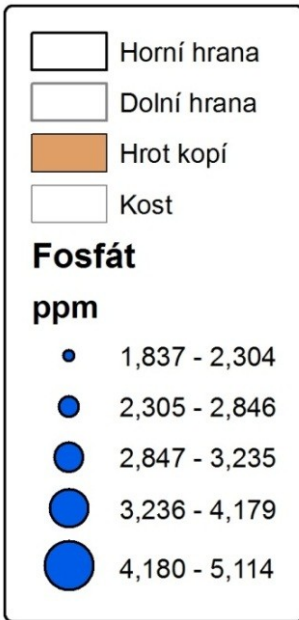


Hrob H 1034

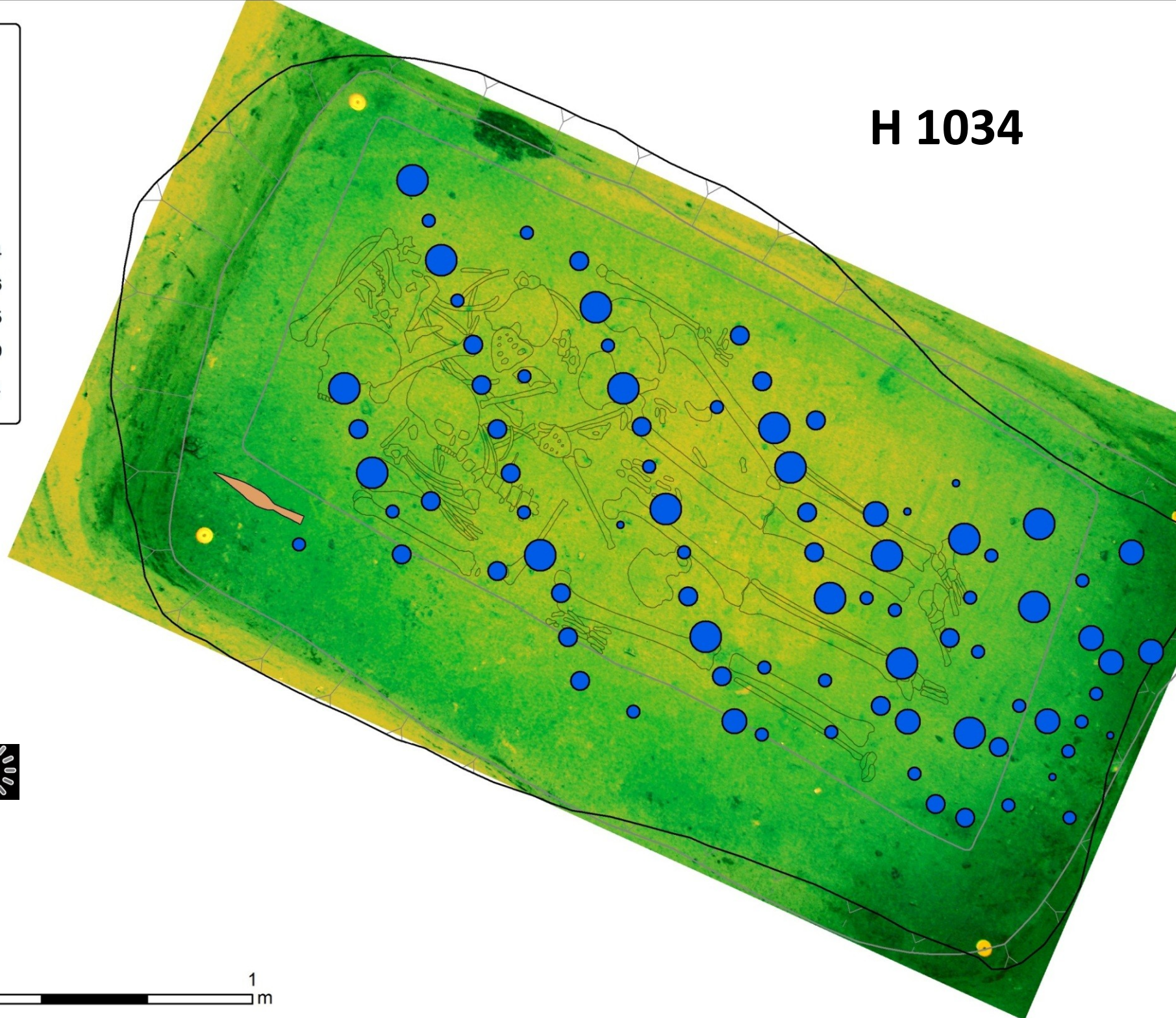
pohřeb je narušen v místech,
kde se nacházely hlavy a trupy
pohřbených jedinců

dolní končetiny jsou v obou
případech sekundárním
zásahem prakticky
neporušené



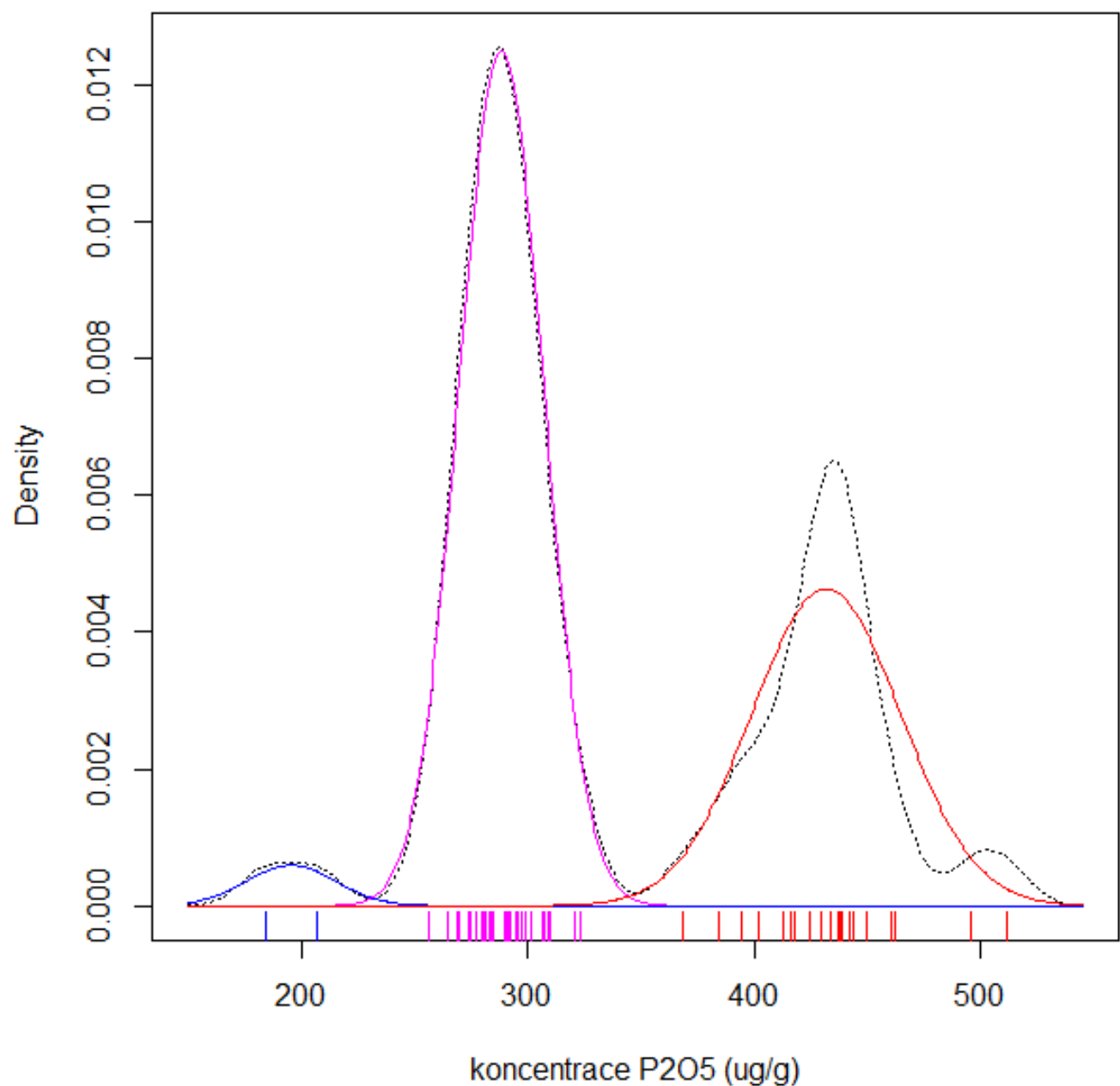


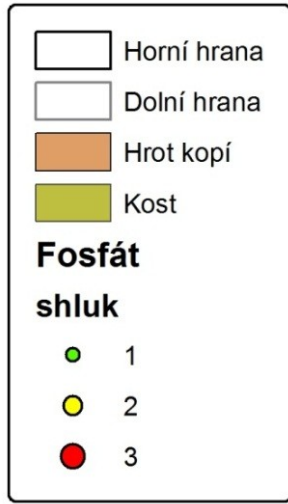
H 1034



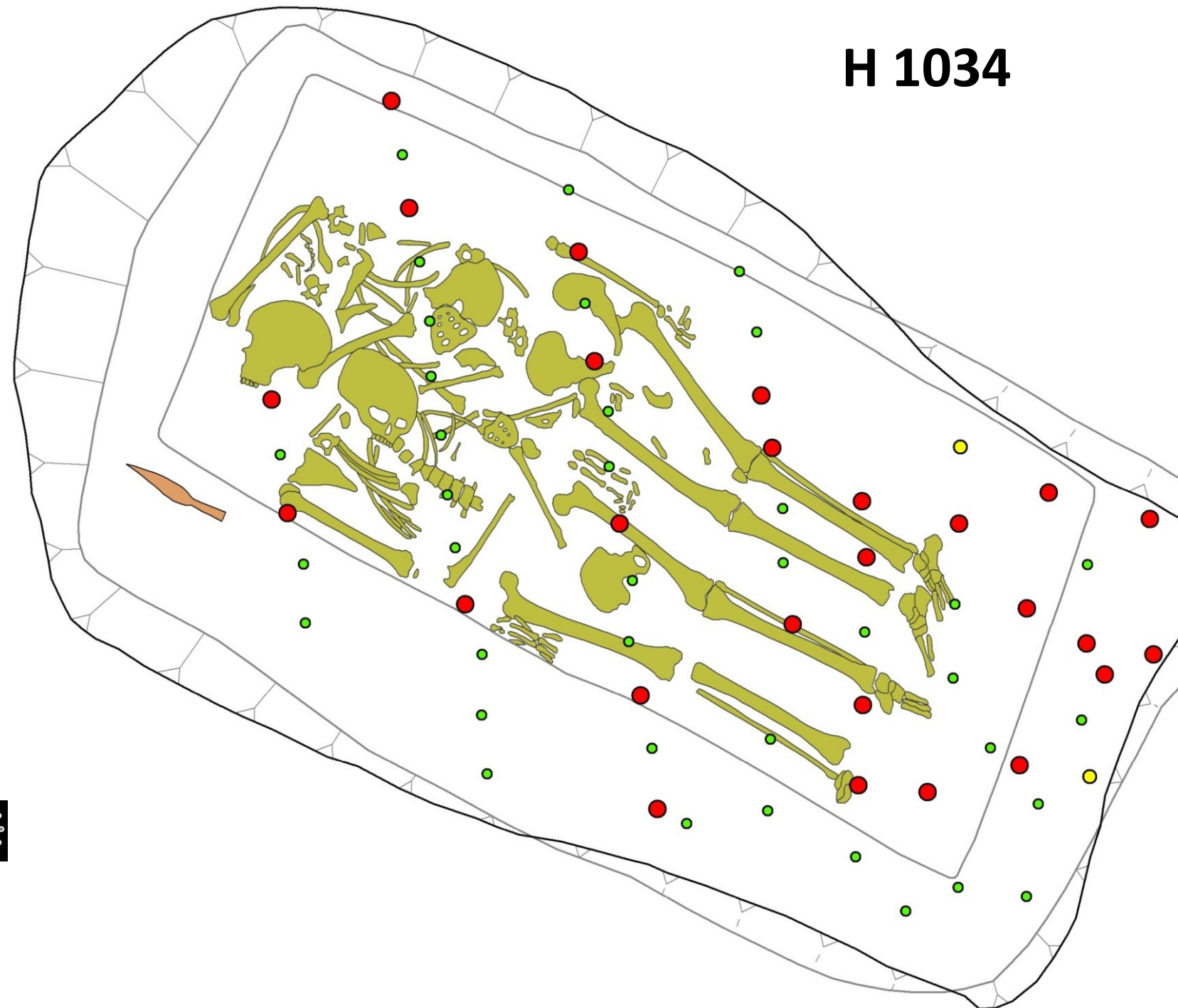
Kyjov, H 1034

Rozklad distribuce na
gaussovské složky
metodou maximální
věrohodnosti





H 1034



0

1

m

Vylupování ???



Aplikace chemických testů v terénu



Polní test na fosfor

- Test na filtračním papíru podle Gundlacha





Využití polního testu

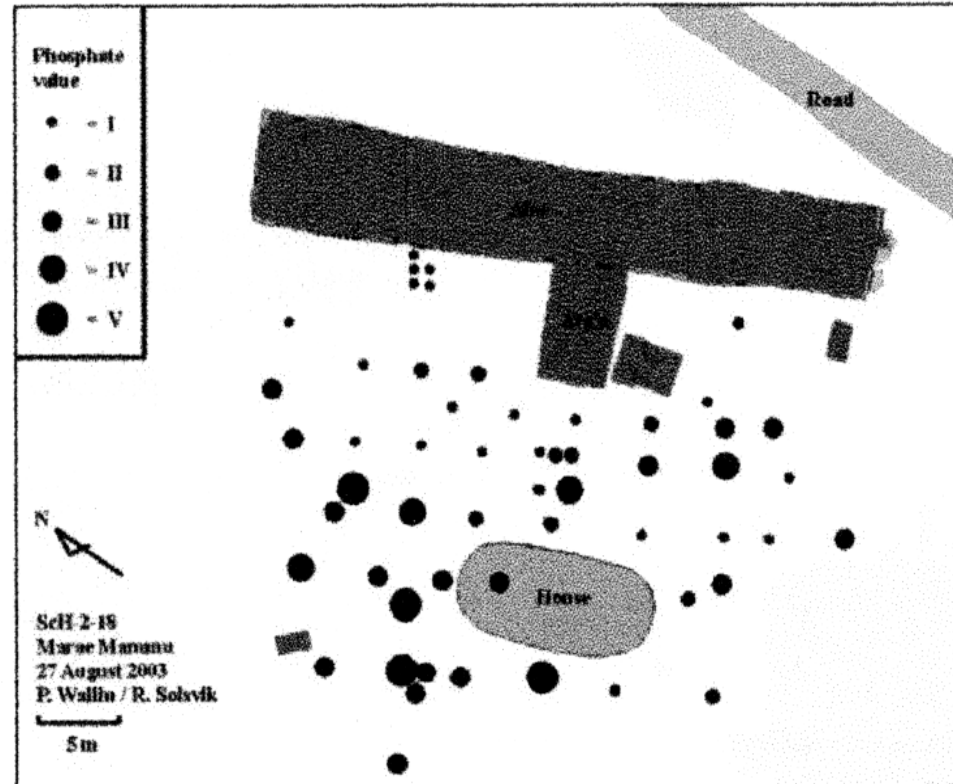
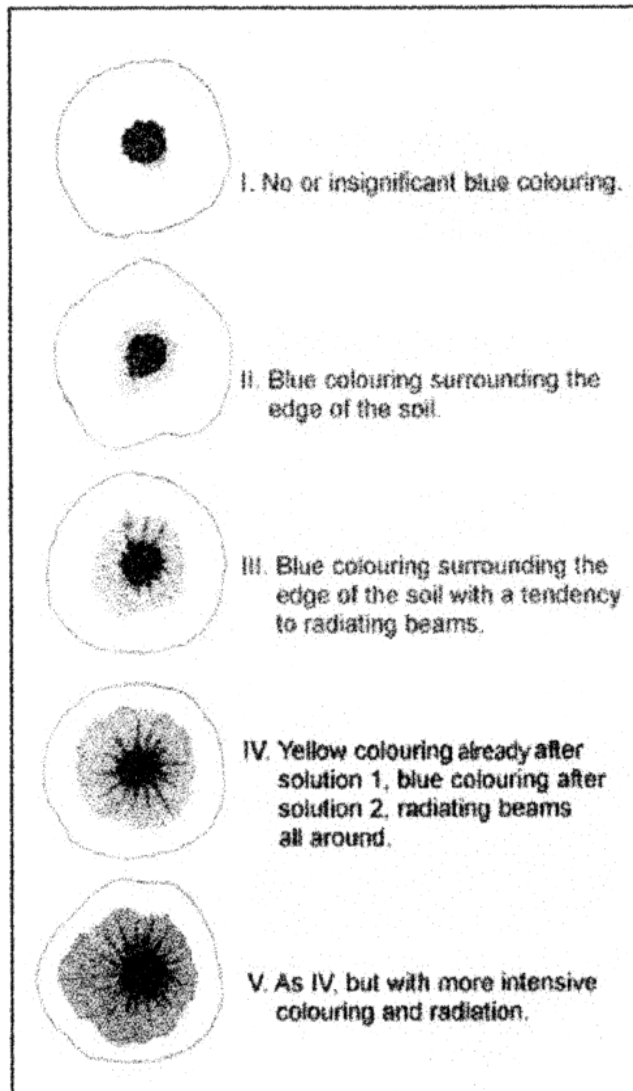


Figure 5 (left). Illustration of phosphate values (after Österholm and Österholm 1997:145).

Figure 6 (right). Results of the phosphate analysis plotted on the site plan.

Interpretace výsledků polního testu

Nutno brát v úvahu archeologický kontext (akumulace kostí, keramiky, zbarvení výplně, apod.).

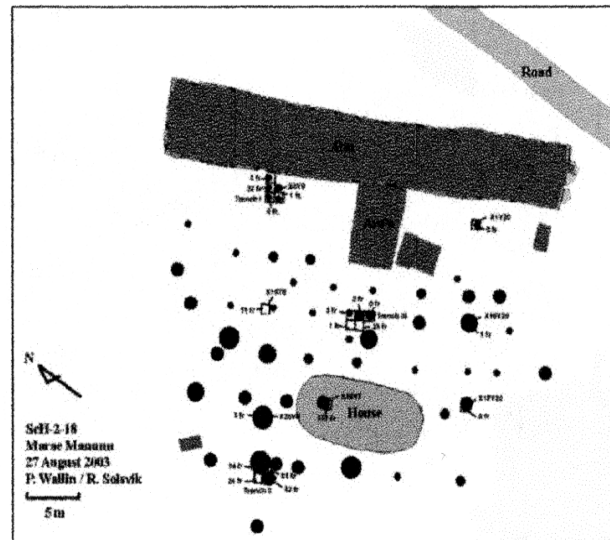


Figure 7. Excavated test pits/trenches and number of bone fragments.

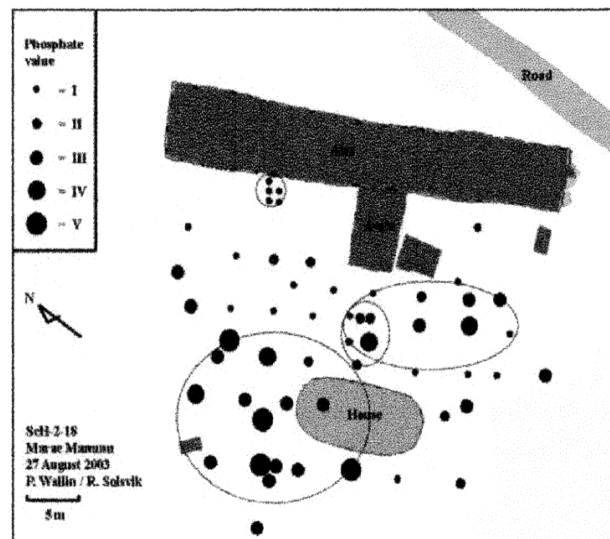
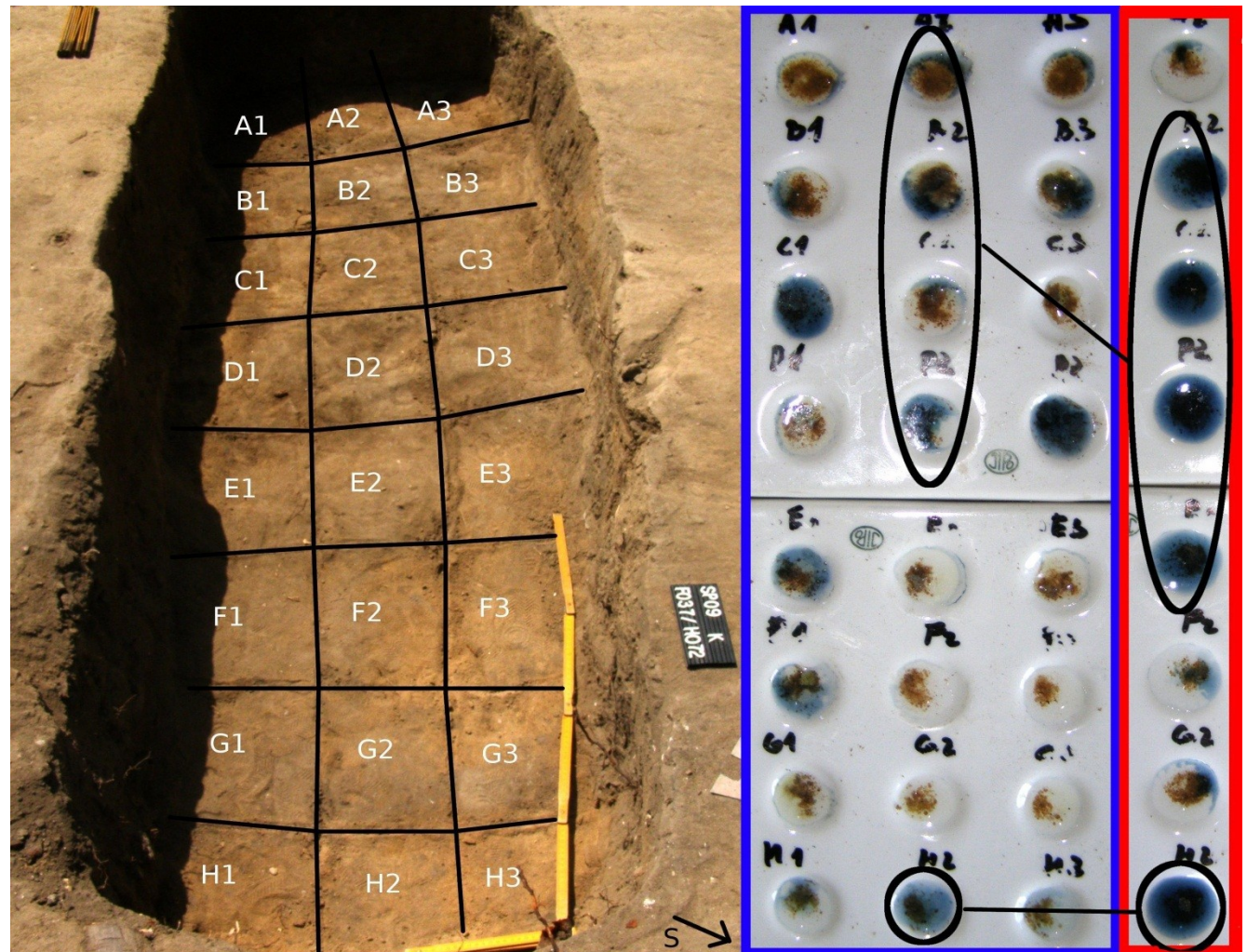


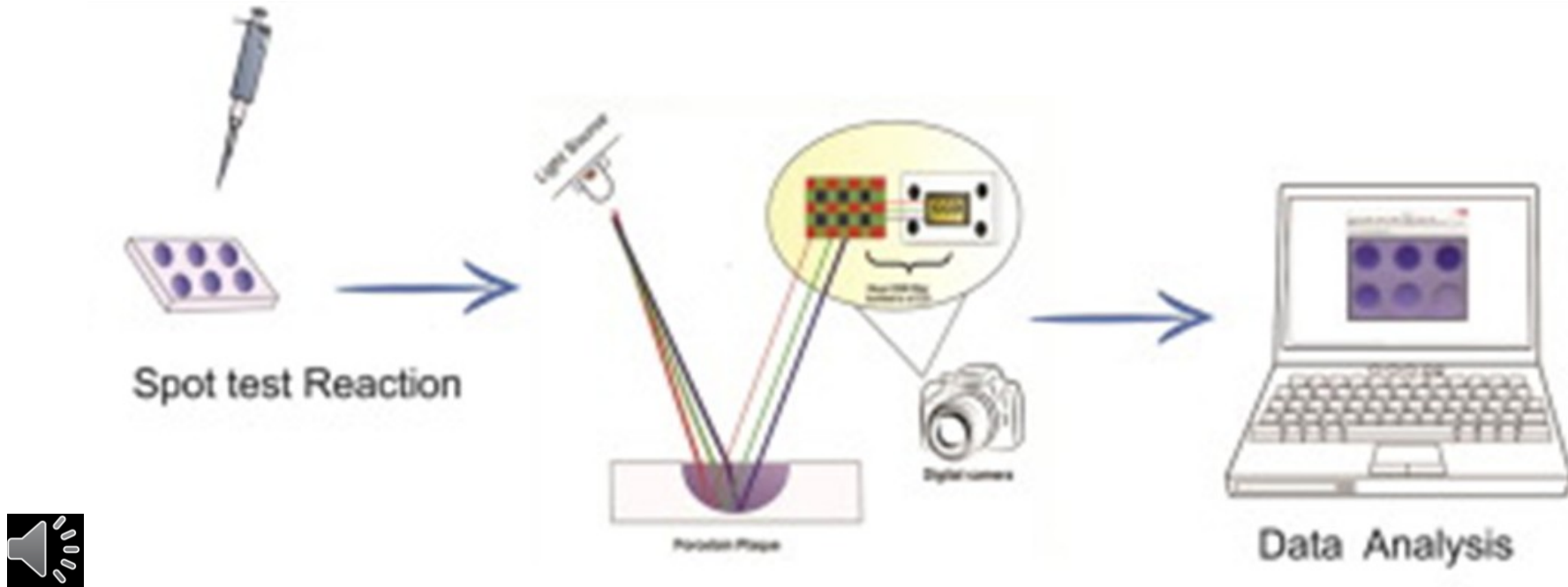
Figure 8. Interpretation of phosphate mapping.

Polní test na fosfáty

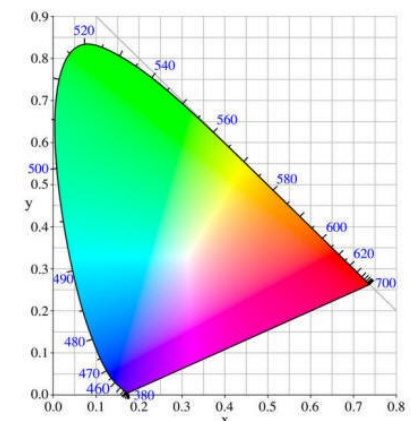
Pohansko
(raný středověk)



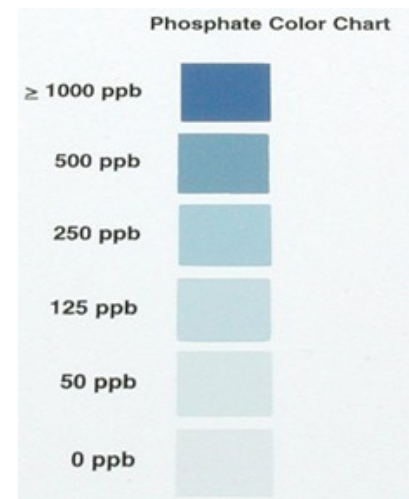
Interpretace výsledků polního testu



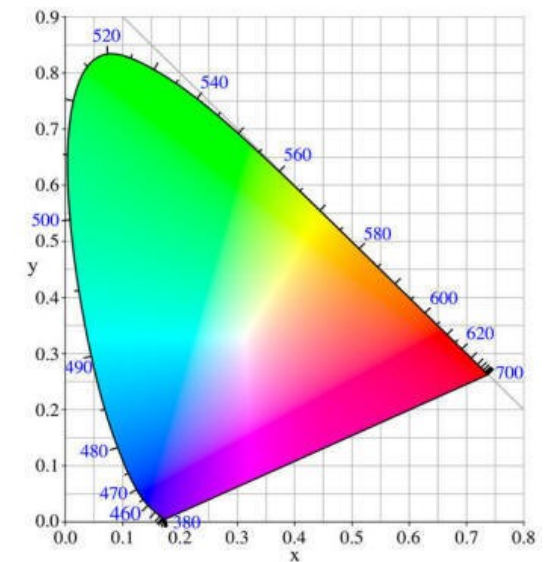
Signal processing



Interpretace výsledků polního testu



Signal processing



Ostatní testy

Uhličitany: s vodným roztokem kyseliny vznikají bublinky CO₂.

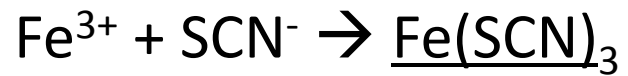
- Alkalické půdy
- Vápence
- Malty a omítky

Železo: reakcí trojmocného Fe s roztokem thiokyanatanu vzniká krvavě červené zbarvení.



Brongersův test

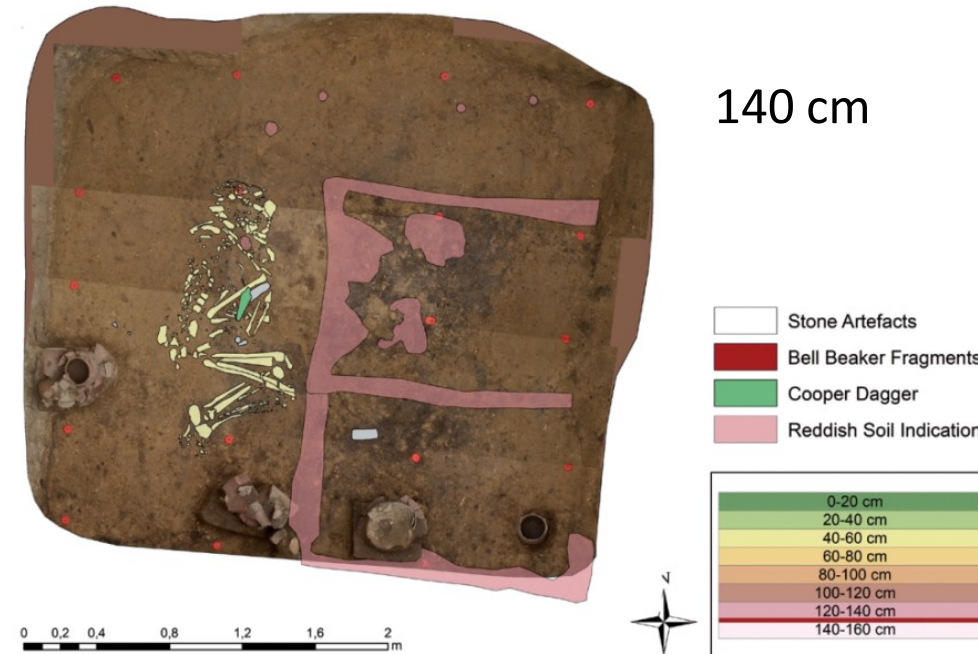
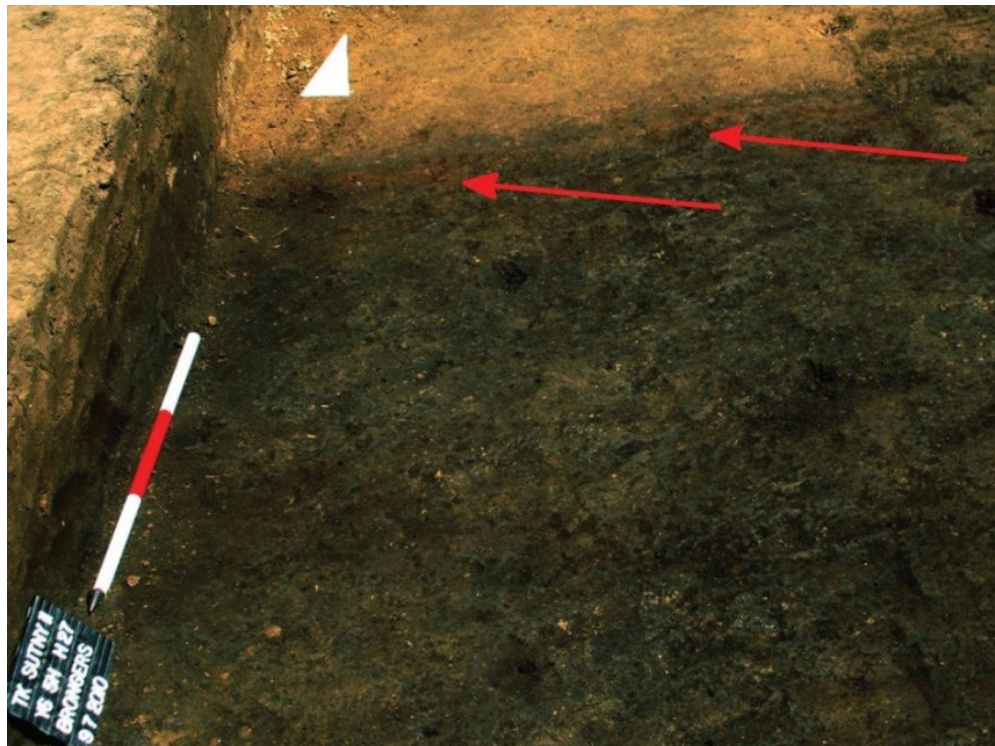
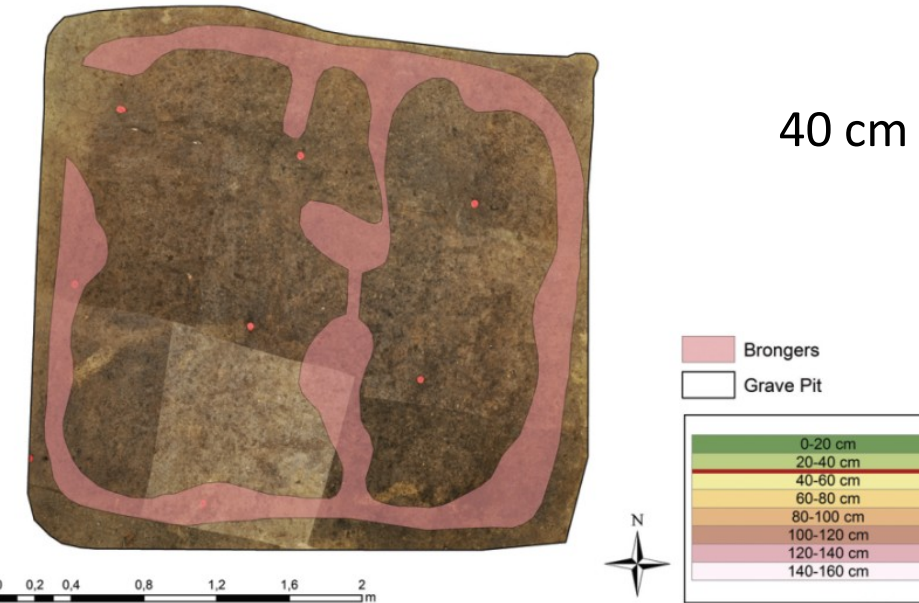
Slouží k **detekci zetlelého dřeva**. Huminové kyseliny z rozkladu dřeva na sebe postupně vážou ionty Fe^{3+} a dochází k jejich lokální akumulaci. Přítomnost iontů Fe^{3+} se prokazuje reakcí s thiokyanatanem.



Kyjov (pohřebiště DSN)

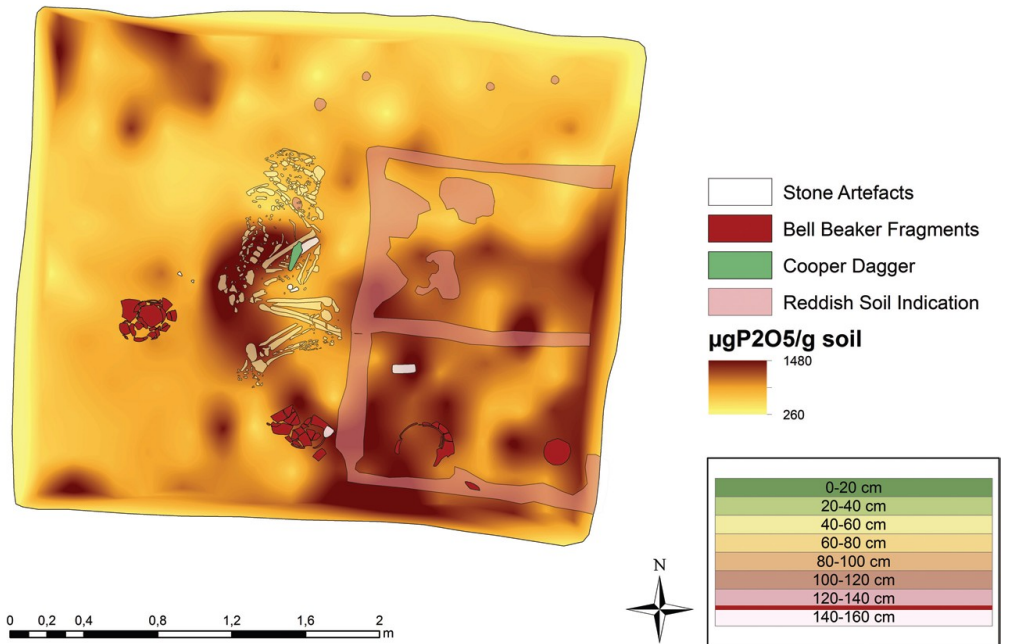
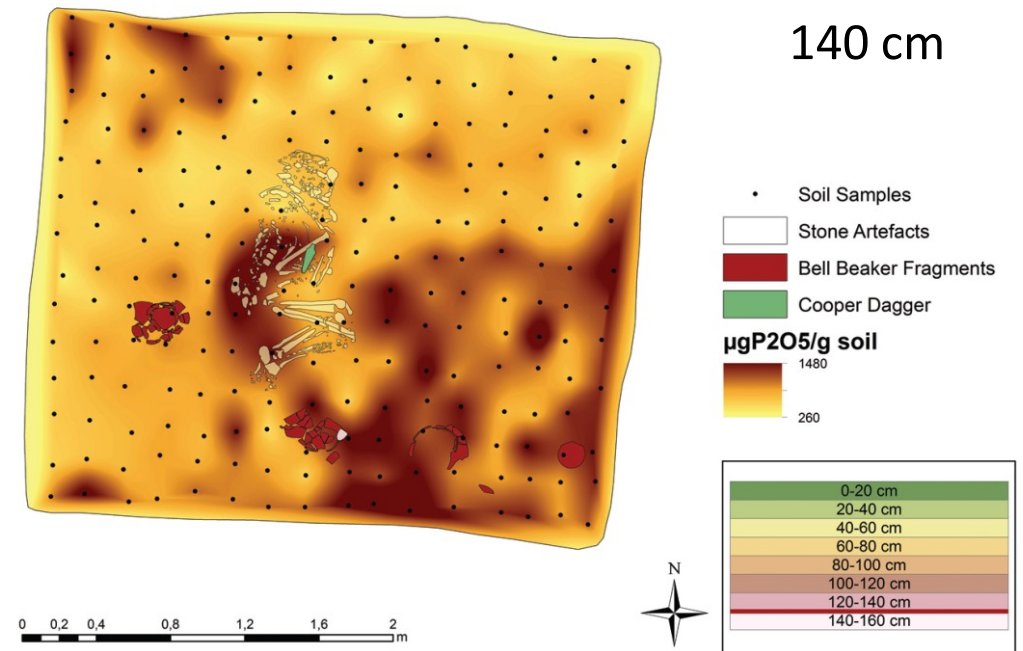
Těšetice - Kyjovice

Hrob H 27, kultura zvoncovitých pohárů



Těšetice - Kyjovice

Hrob H 27, kultura zvoncovitých pohárů



Těšetice-Kyjovice



Hrob H 27, kultura zvoncovitých pohárů



Laboratorní metody

pH

spektrofotometrie



XRF



Pokročilé analytické metody

prvková analýza

organická analýza

analýza DNA



Optická emisní spektrometrie s indukčně vázaným plazmatem (ICP-OES)



Stanovení fosforu a dalších prvků (Fe, Cu, Pb, K, ...)

Multipraková analýza



Rentgenofluorescenční analýza

Prvková analýza, zejm. těžké kovy



Obsah organické složky

- Humus
- Rezidua tuků a proteinů

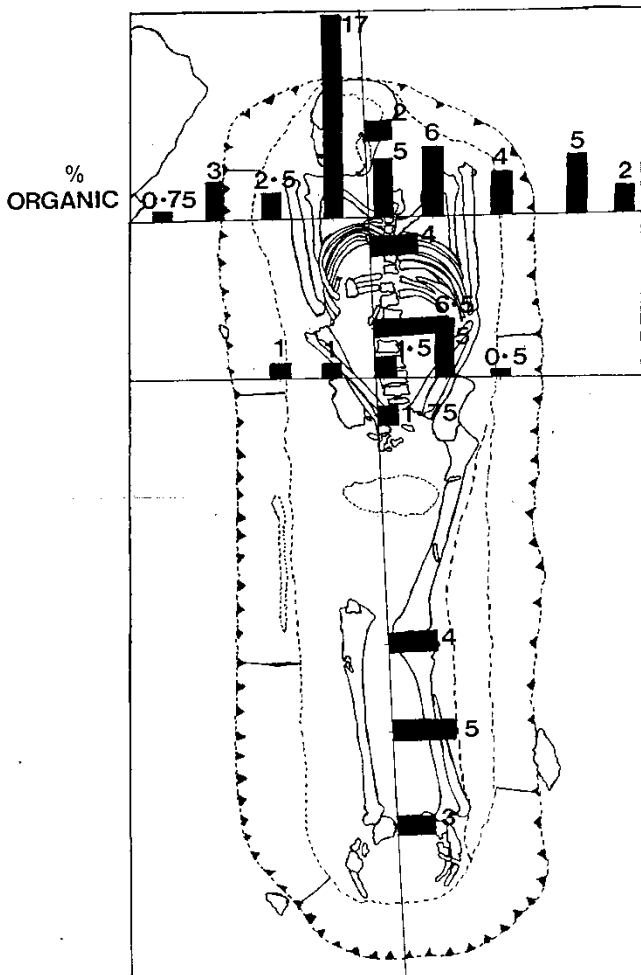
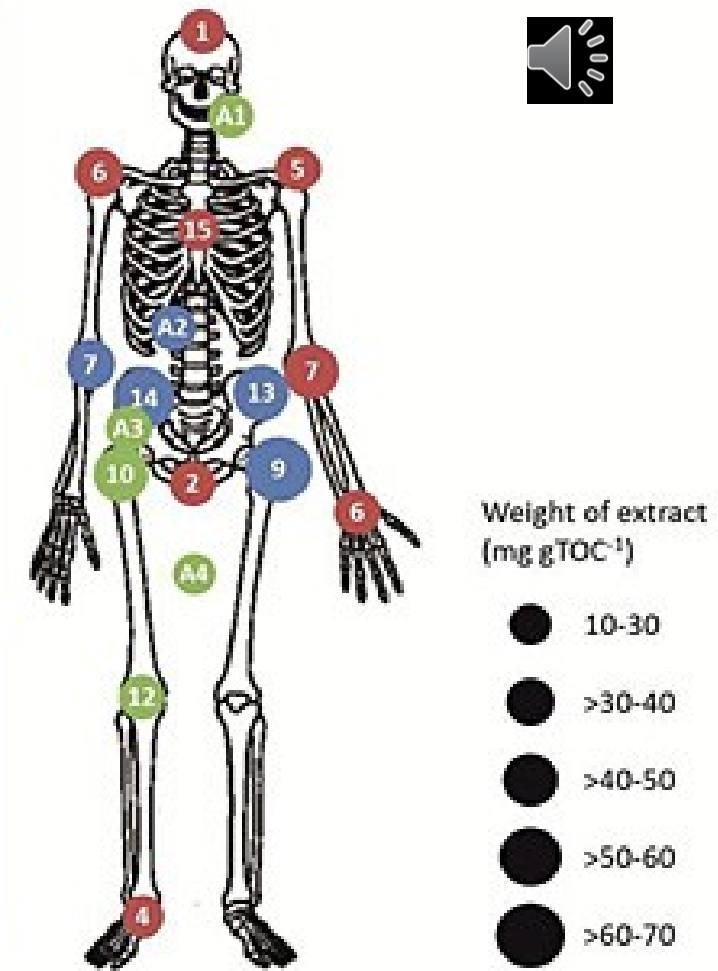
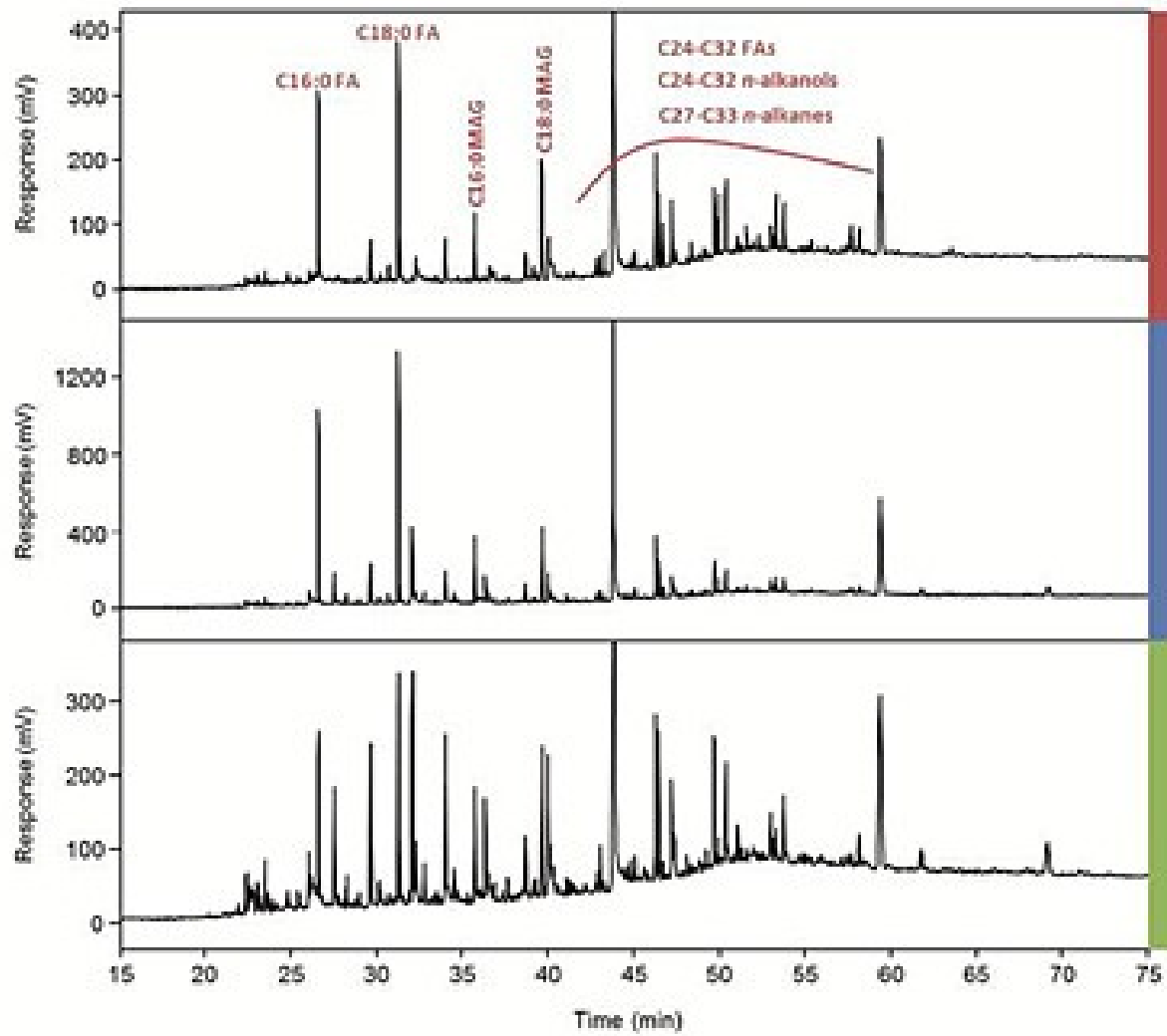


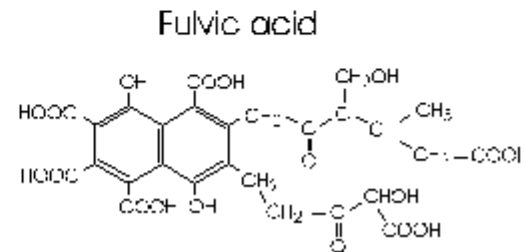
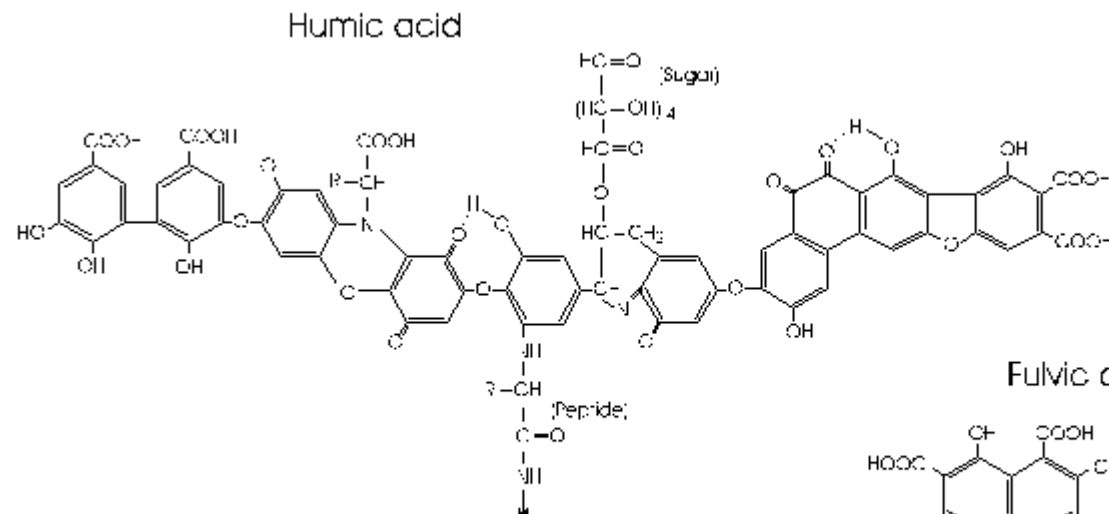
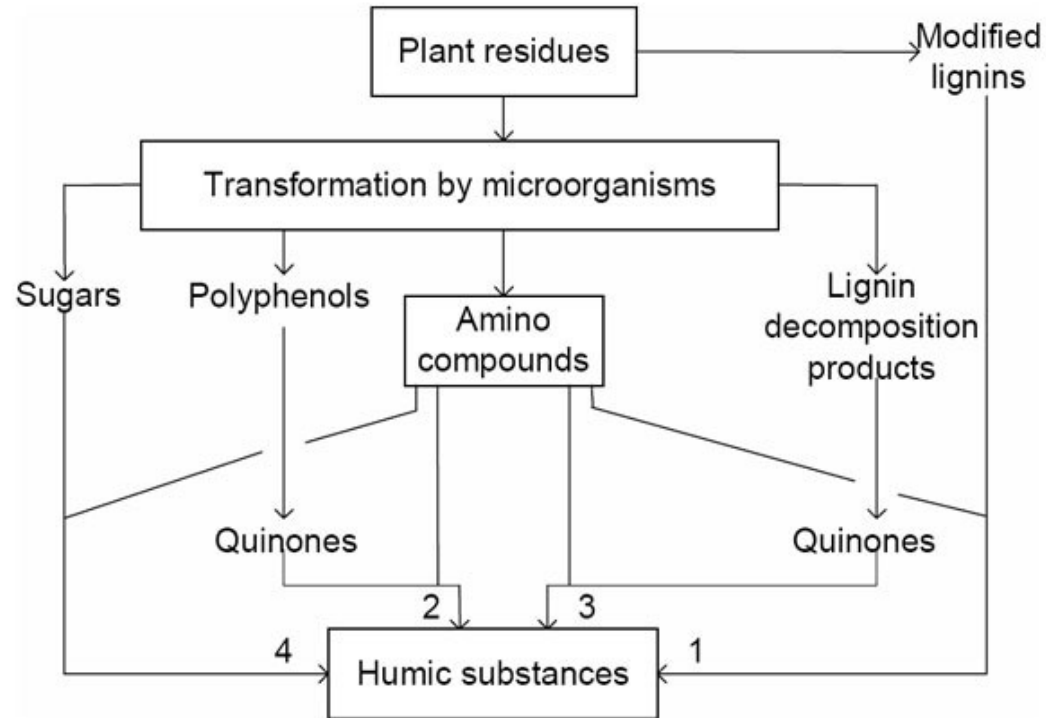
Figure 4. Schematic organic content of sand.

Obsah organické složky

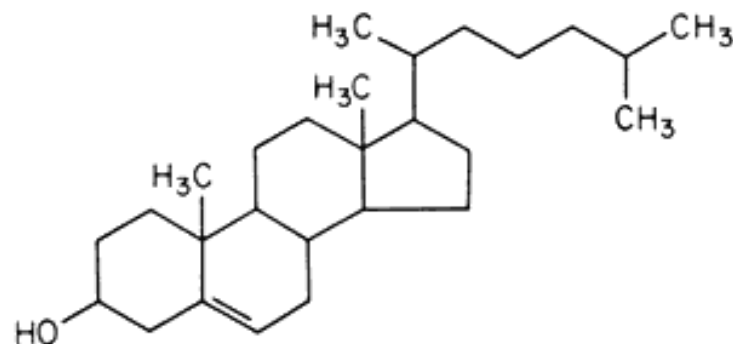


Huminové kyseliny

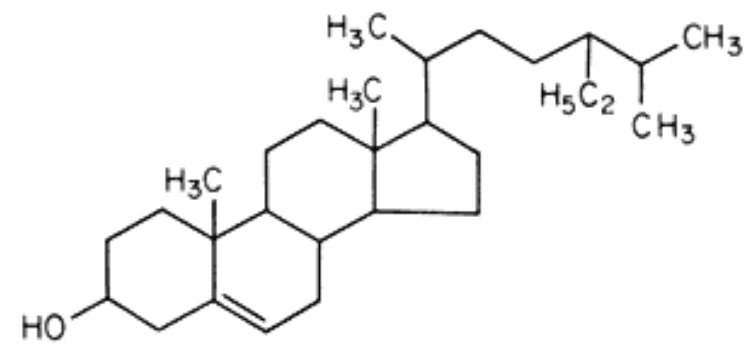
Rozklad rostlinného materiálu



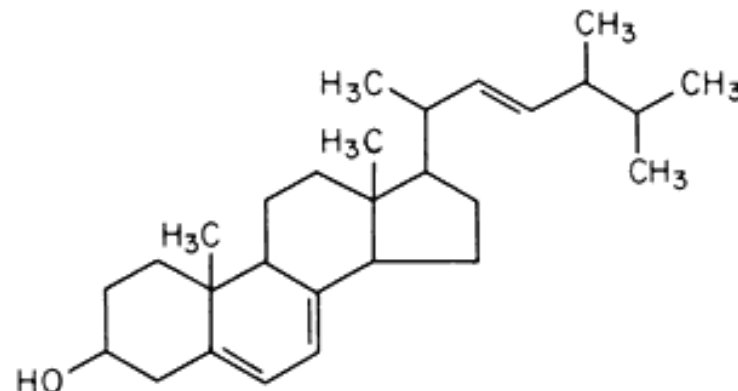
Steroly – specifické biomarkery



Cholesterol



β -Sitosterol



Ergosterol

Steroly a stanoly

Fekální biomarkery

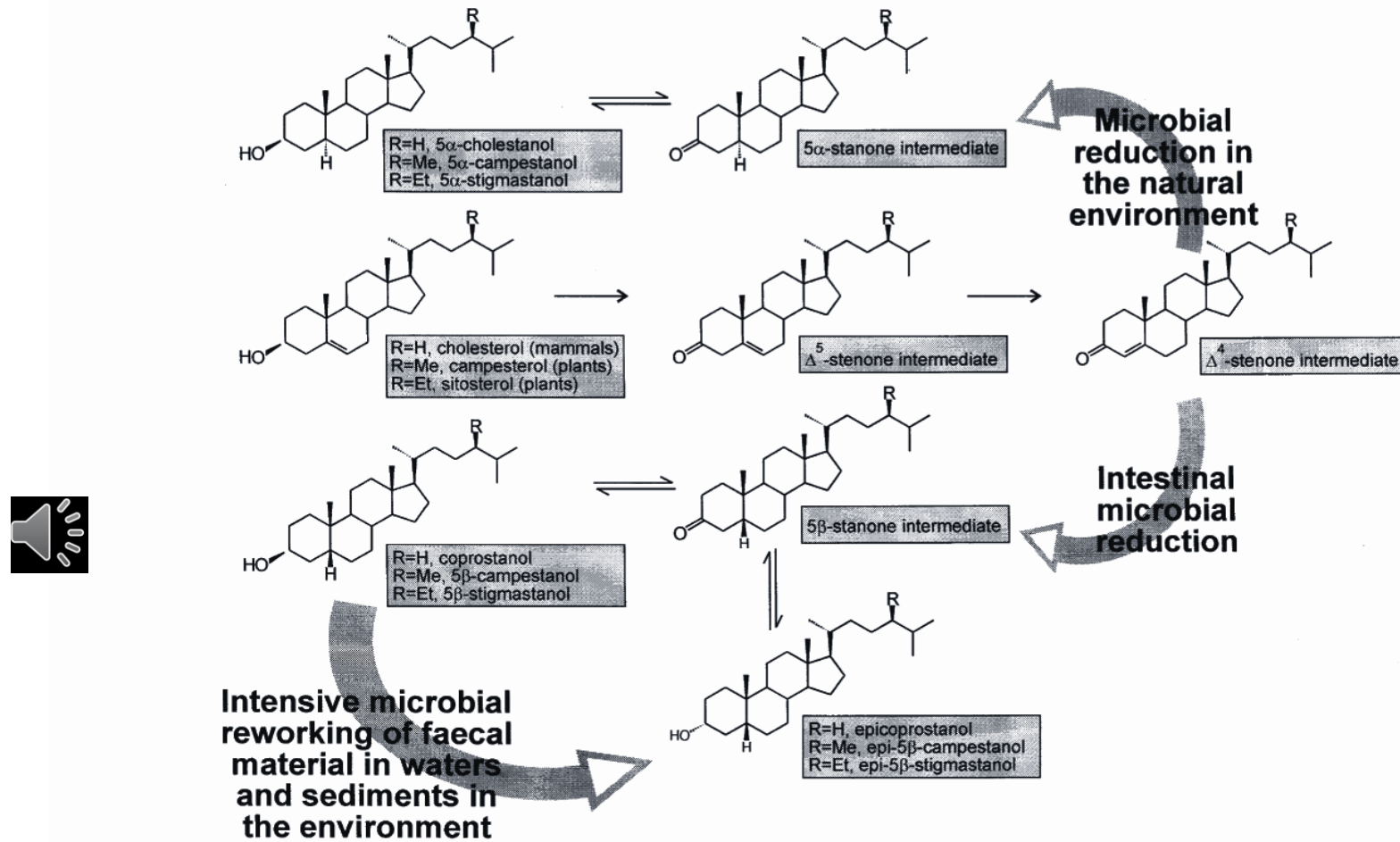


Fig. 1. A schematic detailing the formation of 5α - and 5β -stanols, from their stenol precursors, in the natural environment and the mammalian gut.

Žlučové kyseliny

Deriváty cholesterolu s detergentními vlastnostmi, které napomáhají solubilizaci tuků v trávicím traktu.

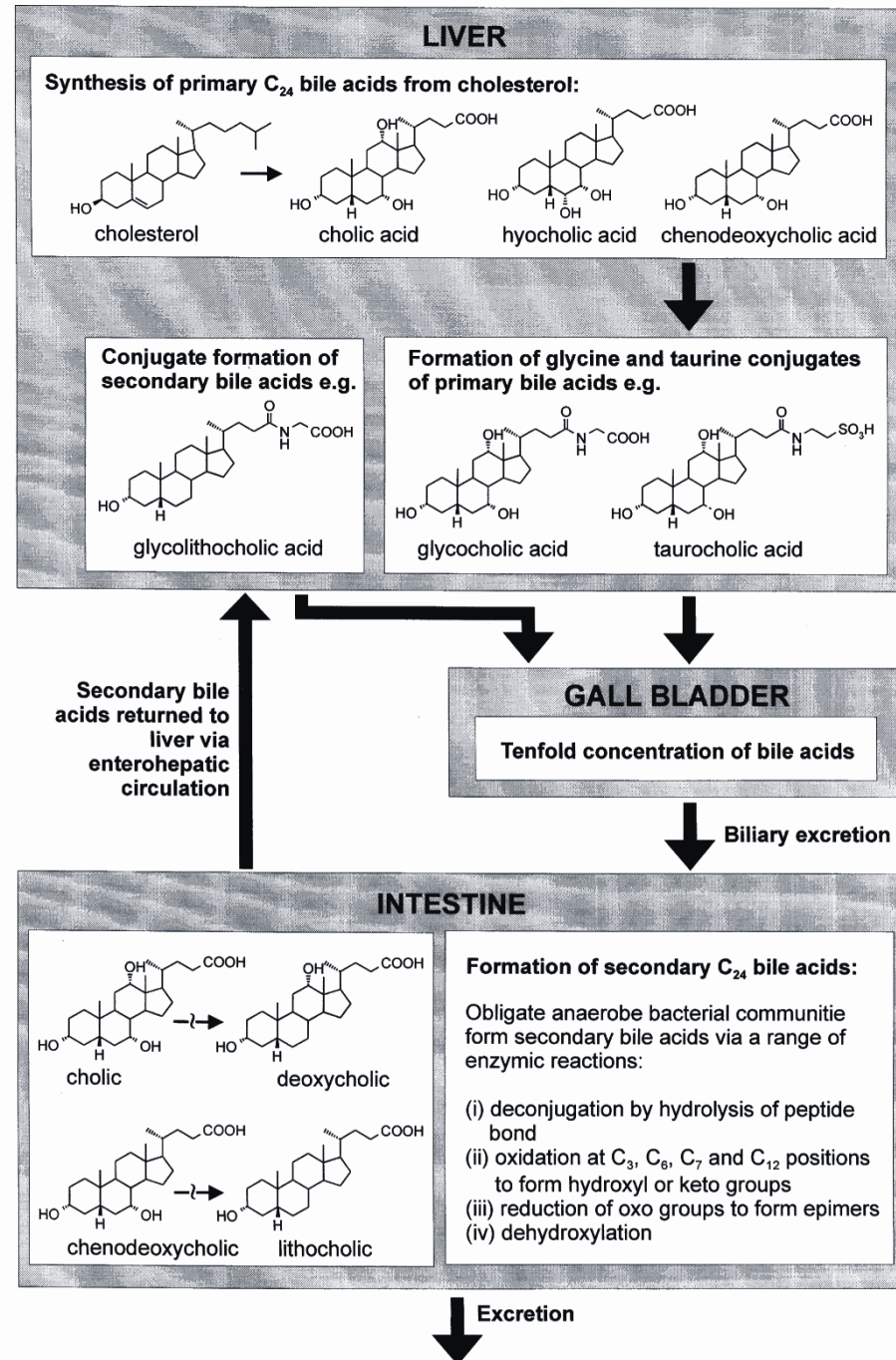
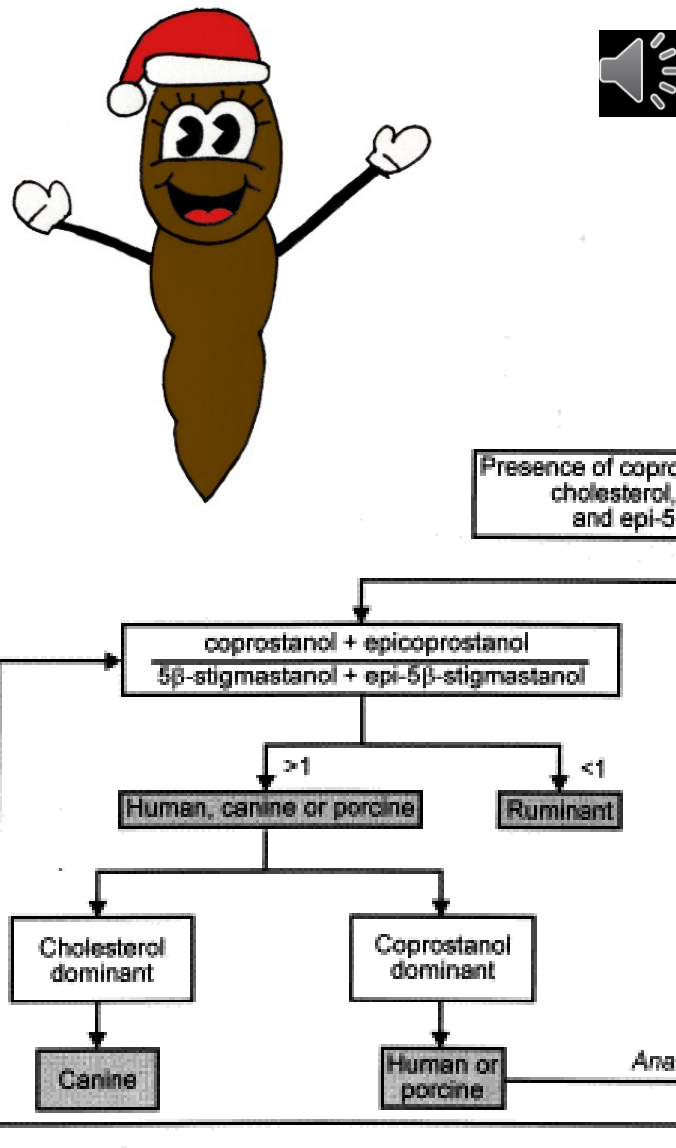


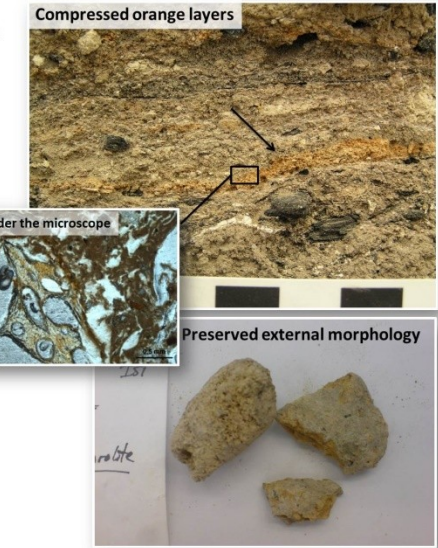
Fig. 2. An overview of the origin of primary bile acids and their conversion, after excretion from the gall bladder, to secondary bile acids in the intestine.

Fekální biomarkery



Identifying coprolites in the field

- May have a distinct rounded to sub-rounded morphology
- Can have a distinct orange/yellow colour
- Compressed deposits can still be recognised by colour and texture
- Can be confused with other decayed organic deposits
- May not be easily visible in the field, but can be detected microscopically or chemically



Athény, doba římská

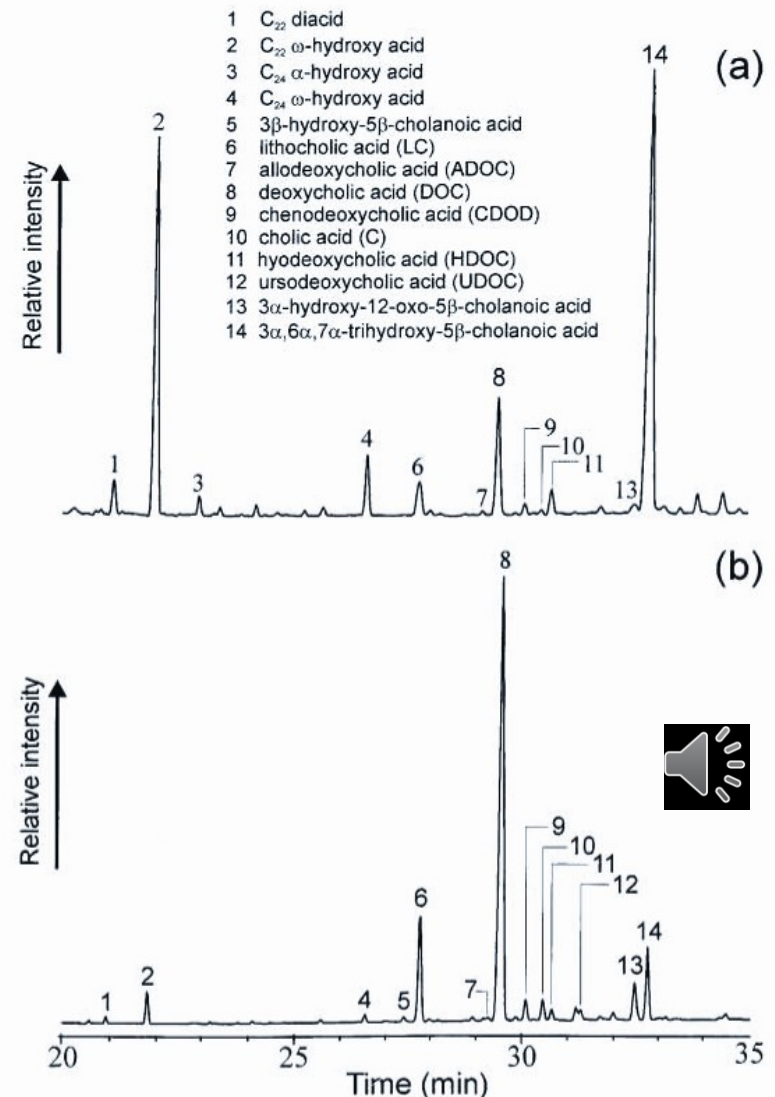
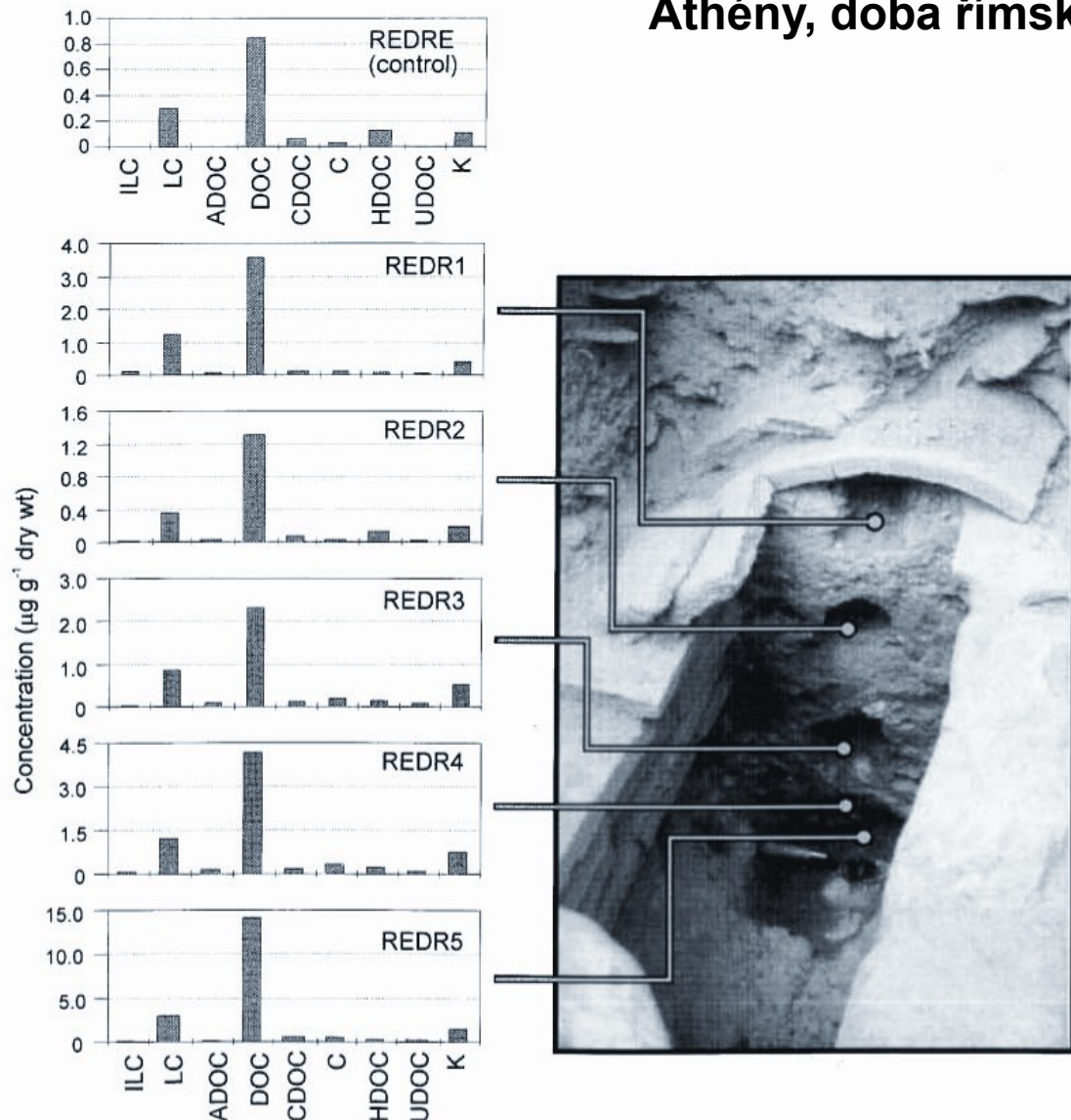


Fig. 3. Analyses of bile acids from a Roman drainage culvert excavated in Agora, Athens. Gas chromatograms of the bile acid profiles for the east control sample and sediment at the bottom of the culvert (REDR5) are displayed in (a) and (b), respectively. (c) Depicts histograms for the control (REDRE), and samples taken progressively deeper down the sides of the drain (REDR1-4) and the sediment (REDR5) in the bottom of the drain (see inset photograph).



Analýza DNA

